

บทที่ 2

เอกสารและงานวิจัยที่เกี่ยวข้อง

ปรอท (Mercury) เป็นโลหะหนักที่มีสถานะเป็นของเหลวที่อุณหภูมิห้อง มีสีขาว คล้ายเงิน มีคุณสมบัติในการสะท้อนแสงได้ดี และเป็นตัวนำไฟฟ้าที่ดี โดยปกติปรอทในธรรมชาติ สามารถจำแนกออกได้หลายรูปแบบ ไม่ว่าจะเป็น ปรอตอนนินทรีย์ และปรอthoninทรีย์ โดยปรอทแต่ละรูปแบบก็จะมีคุณสมบัติแตกต่างกัน (ดังแสดงในตารางที่ 1 และ 2) (รัตนารณ์ ชั้นไฟคลาสศิลป์, 2545)

ตารางที่ 1 คุณสมบัติทางกายภาพและทางเคมีของปรอท (รัตนารณ์ ชั้นไฟคลาสศิลป์, 2545)

คุณสมบัติ	
สัญลักษณ์	Hg
น้ำหนักโมเลกุล (Molecular Weight)	200.590
ความหนาแน่น (Density) ที่ 20 องศาเซลเซียส	13.546 กรัมต่อลิตร
จุดเดือด (Boiling Point)	356.9 องศาเซลเซียส
จุดเยือกแข็ง (Melting Point)	-38.870 องศาเซลเซียส
ความร้อนแห้งของการหลอมเหลว	2.82 แคลอรีต่อกิโลกรัม
ความร้อนแห้งของการถ่ายเป็นไอ	65 แคลอรีต่อกิโลกรัม
ความดันไอ	1.20×10^{-3} มิลลิเมตร ที่ 20 องศาเซลเซียส
ความถ่วงจำเพาะ (Specific Gravity)	13.545
ความสามารถในการละลายในน้ำ (Solubility in Water)	ค่า

ตารางที่ 2 คุณสมบัติทางกายภาพและทางเคมีของprotothione (เมทิลเมอร์คิวรีคลอไรด์)
(ATSDR, 1999; Kaufman, 1969)

คุณสมบัติ	
สูตรทางเคมี	CH_3HgCl
สูตรโครงสร้าง	$\text{CH}_3\text{-Hg}^+\text{Cl}^-$
น้ำหนักโมเลกุล (Molecular Weight)	251.10 (g/mol)
คุณสมบัติทางกายภาพ (25 องศาเซลเซียส)	White Crystal
จุดเดือด (ที่ 25 mm Hg)	No Data
จุดเยือกแข็ง	170 องศาเซลเซียส
ความหนาแน่น (25 องศาเซลเซียส)	4.06 g/mL
ความดันไอ (25 องศาเซลเซียส)	0.0085 mm Hg
ความสามารถในการละลายน้ำ (21 องศาเซลเซียส)	< 100 mg/L
Log Octanol/ Water Partition Coeff.	No Data
Odor Threshold (Air)	No Data
Conversion Factors (Air)	$1 \text{ ppm} = 10.27 \text{ mg/m}^3;$ $1 \text{ mg/m}^3 = 0.0974 \text{ ppm}$

แหล่งที่มาของprotoxin สิ่งแวดล้อม

protoxin ที่มีอยู่ในธรรมชาติ คือ โลหะprotoxin และprotozincไฟฟ์ ซึ่งสามารถกระจาย

ออกสู่สิ่งแวดล้อมโดยการละลายและระเหย หรือผุกร่อนของหิน ดิน แร่ ที่มีprotoxin เป็นส่วนประกอบอยู่ จากการศึกษาเกี่ยวกับการถ่ายตัวของprotoxin ตามธรรมชาติ โดย National Academy of Science (NAS) ในปี ก.ศ. 1978 พบว่า ปริมาณของprotoxin ที่ระเหยออกมาระหว่าง 2,700 – 5,000 ตัน/ปี (รัตนาภรณ์ ชั้นไฟฟ้าดีบุกปี, 2545) อย่างไรก็ตาม การกระจายจากแหล่งprotoxin นี้ปริมาณน้อยมาก เมื่อเทียบกับprotoxin ที่ได้จากการกระทำของมนุษย์ ทำให้ส่วนใหญ่ของprotoxin เป็นprotozinc ไป ก่อให้เกิดอันตรายต่อนุษชาติ และสิ่งมีชีวิตอื่น ๆ (วรรณย์ ชีวพร, 2543)

2. แหล่งที่มาจากการกระทำของมนุษย์ (Anthropogenic Sources)

proto เป็นสารที่มนุษย์นำมาใช้ประโยชน์ได้อย่างกว้างขวางและเป็นจำนวนมาก มนุษย์รักษาใช้ประโยชน์จากสารprotoทั้งน้ำยาและก่อสร้าง เช่น ใช้เมอร์คิวริกออกไซด์ (HgO) และชินนาบาร์ (HgS) ทำเป็นเม็ดสี (Pigment) และเครื่องสำอาง นาตังแต่ยุคก่อนประวัติศาสตร์ ในปัจจุบันมีการนำมาใช้อย่างกว้างขวาง เช่น

2.1 ด้านอุตสาหกรรม ได้แก่ อุตสาหกรรมทำสี อุตสาหกรรมพลาสติก อุตสาหกรรมโซดาไฟ และคลอริน อุตสาหกรรมชุบโลหะ อุตสาหกรรมผลิตภัณฑ์ไฟฟ้า เป็นต้น

2.2 ด้านการเกษตร ได้แก่ การใช้สารประกอบอนินทรีย์ของprotoในการฆ่าเชื้อรา บางครั้งจะบ่มลักษณะ เพื่อป้องกันแมลง และโรคพืช

2.3 จากผลิตภัณฑ์ไฟฟ้า เช่น เบตเตอร์รี่ เทอร์โมมิเตอร์ บารอมิเตอร์ หลอดไฟฟลูออเรสเซ็น สวิต์ไฟฟ้า เป็นต้น

ด้วยเหตุนี้เอง ทำให้มีการใช้protoกันอย่างกว้างขวาง ทำให้เกิดการปนเปื้อนในสิ่งแวดล้อมที่เกิดจากการกระทำของมนุษย์มากกว่าในธรรมชาติในปริมาณสูง โดยพบว่า proto ถูกปล่อยจาก โรงงานอุตสาหกรรมมีมาก ตั้งแต่ปี 1960 มีอยู่ในช่วงประมาณ 10,000 ตัน/ปี (รัตนารณ์ ชั้น ไฟฟ้าศึกษา 2545) เช่น

1. จากนำเสียจากชุมชน และห้องปฏิบัติการ
2. จากการเผาไหม้ถ่านหิน น้ำมัน และก๊าซธรรมชาติ ซึ่งมีprotoเป็นส่วนประกอบอยู่
3. จากการชำรุดของอุปกรณ์ที่มีprotoเป็นส่วนประกอบอยู่ เป็นต้น

ตัวอย่างการกระจายตัวของproto โดยการกระทำของมนุษย์ จันเกิดอันตรายต่อมนุษย์นั้น เกษกิจนาแล้วที่อ่าวมินามาตะทางตอนใต้ของประเทศไทย ปี 1952 ทำให้ผู้คนล้มป่วย และตายลงเป็นจำนวนมาก เมื่อจาก บริโภคปลา และหอย ที่มีปริมาณของprotoที่อยู่ในรูปของ เมทิเดอร์คิวร์ในปริมาณที่สูง สาเหตุที่ปลาในอ่าวมีปริมาณprotoสูงมาก เนื่องมาจากโรงงานอุตสาหกรรมผลิตไวนิลคลอไรด์ ที่ตั้งอยู่บริเวณริมอ่าวปล่อยสารเมอร์คิวริกคลอไรด์ที่ใช้เป็นตัวเร่งปฏิกิริยาในกระบวนการผลิตลงสู่อ่าวเป็นประจำ และอีกเหตุการณ์หนึ่งในปี พ.ศ. 2515 ที่ประเทศไทยมีรายงานว่า มีผู้คนล้มป่วย และเสียชีวิตในปริมาณมาก เนื่องจากรับประทานข้าวสาลีที่ได้รับการฉีดพ่นด้วยยากำจัดเชื้อราที่ผสมproto (รัตนารณ์ ชั้น ไฟฟ้าศึกษา 2545)

รูปของprotoในสิ่งแวดล้อม

รูปของprotoที่ถูกปล่อยลงสู่แหล่งน้ำมีอยู่ 5 รูปดังนี้

1. Divalent Mercury, Hg^{2+}
2. Metallic Mercury, Hg^0

3. Phenylmercury, $C_6H_5Hg^+$
4. Methylmercury, CH_3Hg^+
5. Alkoxyalkylmercury, $CH_3OCH_3 CH_2Hg^+$

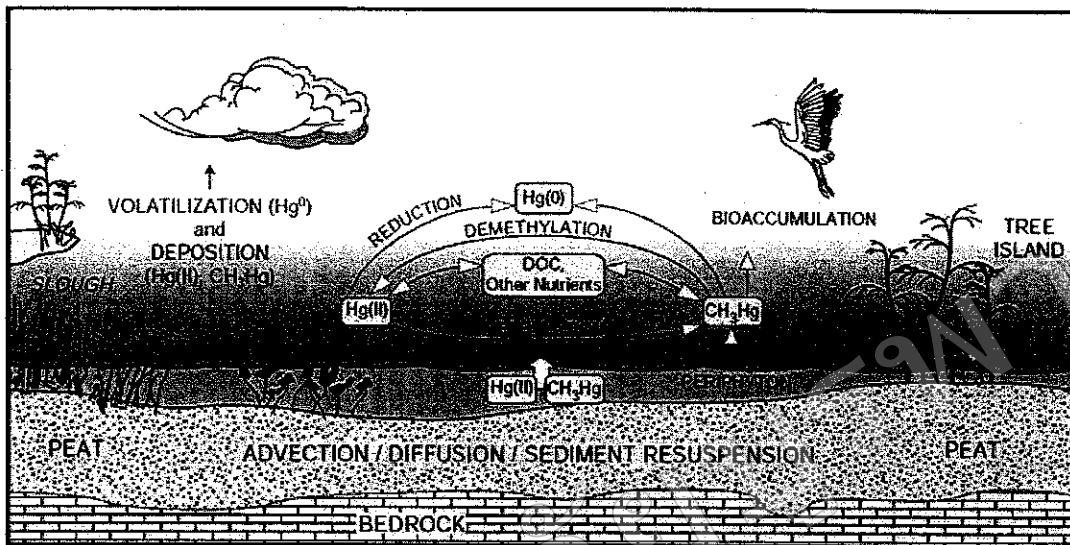
เมื่อproto ได้ถูกปลดปล่อยสู่สิ่งแวดล้อมของน้ำแล้ว บางส่วนจะเข้าไปจุดชน้อยกับอนทรีทัตตุที่แนวลอยอยู่ในน้ำ สิ่งแวดล้อมในน้ำจะทำหน้าที่คล้าย ๆ ตัวกำจัดproto ก่อไป ตามวัตถุน้ำ โดยเห็นช่วงเวลา proto ไอออนมาเกาะติด และตกตะกอนลงสู่พื้นของแหล่งน้ำในเวลาต่อมา (Hannerz, 1969)

ในสภาวะไร้ออกซิเจน (Anoxic) proto ในน้ำจะถูกเปลี่ยนเป็นprotoซัลไฟด์ แล้วเกิดการตกตะกอน proto ในรูปน้ำละลายน้ำได้น้อยหรือไม่ละลายเลย แต่ถ้า proto ได้ถูกออกซิเดชันโดยเฟอริก ไอออน (Fe^{3+}) และมีอากาศละลายน้ำออกมายัง proto มาก ซึ่ง proto จะตกตะกอนลงสู่พื้นของแหล่งน้ำที่มีความสามารถออกซิเจนน้ำ บริเวณพื้นท้องน้ำอาจมี proto เจริญซัลไฟด์อยู่มาก ซึ่ง proto จะสามารถทำปฏิกิริยากับแมติลเมอร์คิวร์ให้เป็นprotoทินทรีที่ในรูปของไคเมทิลเมอร์คิวร์ซัลไฟด์ ($CH_3S-Hg CH_3$) ได้

protoทินทรีเหล่านี้สามารถเข้าไปสะสมในห่วงโซ่ออาหาร และเข้าสู่ร่างกายมนุษย์ได้ในที่สุด การเปลี่ยนรูปของprotoทินทรีนั้นขึ้นอยู่กับปัจจัยทางสิ่งแวดล้อมหลายประการ เช่น ความเป็นกรด และค่าคงของน้ำ ความเป็นกรด และค่าคงของน้ำ มีอิทธิพลต่อการเปลี่ยนรูปของproto คือ ในสภาวะที่เป็นค่าง จะทำให้เกิดไคเมทิลเมอร์คิวร์ แต่ถ้าอยู่ในสภาวะที่เป็นกลาง หรือ ค่างเล็กน้อย จะทำให้มีการเปลี่ยนรูปไปเป็นเมทิลเมอร์คิวร์ นอกจากนี้ สภาวะที่เป็นกรด จะมีผลทำให้ไคเมทิลเมอร์คิวร์เปลี่ยนรูปเป็นแมติลเมอร์คิวร์ได้โดยง่าย (เปี่ยมศักดิ์ เมนะเศวต, 2539)

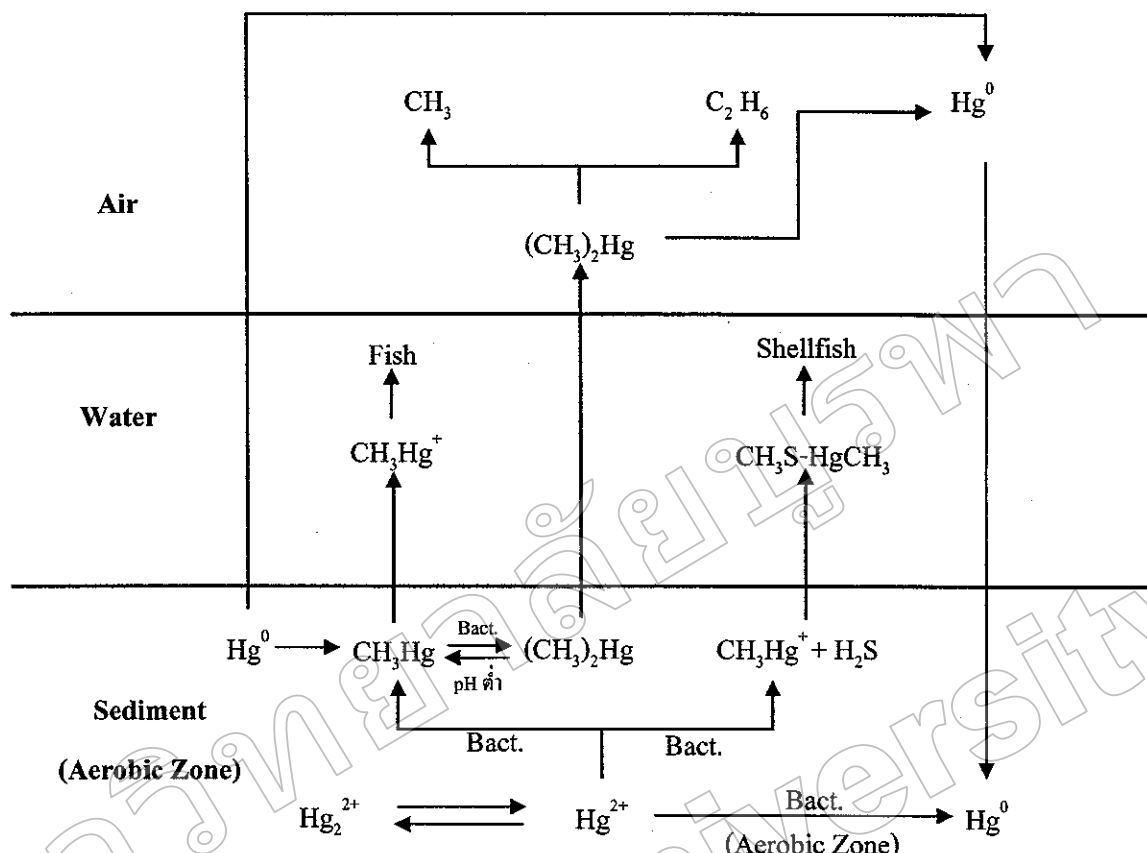
วัฏจักรของproto

protoทินทรี และprotoทินทรี สามารถเปลี่ยนรูปแบบไปมาได้ และหมุนเวียนเป็นวัฏจักร (ดังแสดงในภาพที่ 1) กล่าวคือ protoที่อยู่ในบรรยากาศส่วนใหญ่จะอยู่ในรูปของธาตุproto (Hg^0) ซึ่งเป็นรูปที่มีความดันไอสูง และละลายน้ำได้เล็กน้อย ด้วยคุณสมบัตินี้จึงทำให้ protoที่อยู่ในบรรยากาศมีค่าครึ่งชีวิตยาวประมาณ 1 ปี หรือมากกว่านั้น โดยprotoที่อยู่ในบรรยากาศส่วนใหญ่จะอยู่ในรูปของไอproto (Mercury Vapour) (Piotrowski & Coleman, 1980) ซึ่งส่วนใหญ่จะอยู่ในรูปของprotoทินทรี เช่น Hg^{2+} จะคงสะสมลงสู่นิเวศในน้ำโดยการตกของฝน ด้วยกระบวนการตกสะสม (Deposition) โดยปัจจุบันน้ำฝนลงสู่แหล่งน้ำ (นภฤกษ์ วัฒนวิทูร, 2545)



ภาพที่ 1 วัฏจักรของปรอทในสั่งแวดล้อม (Williams et al., 2000)

ปรอทเมื่อลงสู่แหล่งน้ำส่วนใหญ่จะถูกดูดซับ (Absorb) เข้าไปอยู่ในอนุภาคตะกอนที่แขวนลอย ทั้งที่เป็นพิวคสารอินทรีย์และสารอนินทรีย์ และตกตะกอนลงสู่พื้นท้องน้ำในเวลาต่อมา ปรอทสามารถเปลี่ยนรูปแบบ (Speciation) จากธาตุปรอท (Hg^0) ไปเป็น Inorganic Divalent (Hg^{2+}) หรือปรอทอินทรีย์ในรูปของเมทิลเมอร์คิว (CH_3Hg^+) และไดเมทิลเมอร์คิว ($(CH_3)_2Hg$) ซึ่งการเปลี่ยนรูปแบบเกิดขึ้นโดย Hg^0 จะถูกออกซิไดต์ไปเป็น Hg^{2+} จากนั้น Hg^{2+} จะถูกเมทิเลต (Methylate) ได้เป็นเมทิลเมอร์คิว และไดเมทิลเมอร์คิว โดยกระบวนการทางชีวภาพ โดยจุลินทรีย์ที่มีความสามารถเปลี่ยนรูปของปรอthoninทรีย์ให้เป็นปรอทอินทรีย์ ได้แก่ Methanogenic Bacteria ซึ่งจะทำการเปลี่ยนปรอthoninทรีย์เป็นปรอทอินทรีย์ ทำให้เกิดปรอthoninทรีย์ทั้งสองรูปแบบ คือ เมทิลเมอร์คิว และไดเมทิลเมอร์คิว แต่ไดเมทิลเมอร์คิว ($(CH_3)_2Hg$) เป็นรูปแบบที่มีความสามารถในการระเหยสูง ส่วนใหญ่จะระเหยจากแหล่งน้ำไปอยู่ในบรรยากาศ อีกกระบวนการหนึ่งที่ทำให้ปรอทในแหล่งน้ำกลับสู่บรรยากาศอีกครั้ง คือ เมทิลเมอร์คิวและไดเมทิลเมอร์คิวจะถูกดีเมทิเลต (Demethylate) เป็นธาตุปรอท และระเหยเข้าสู่บรรยากาศ หมุนเวียนเป็นวัฏจักร (ดังแสดงในภาพที่ 2) (วรวิทย์ ชีวพร, 2543)



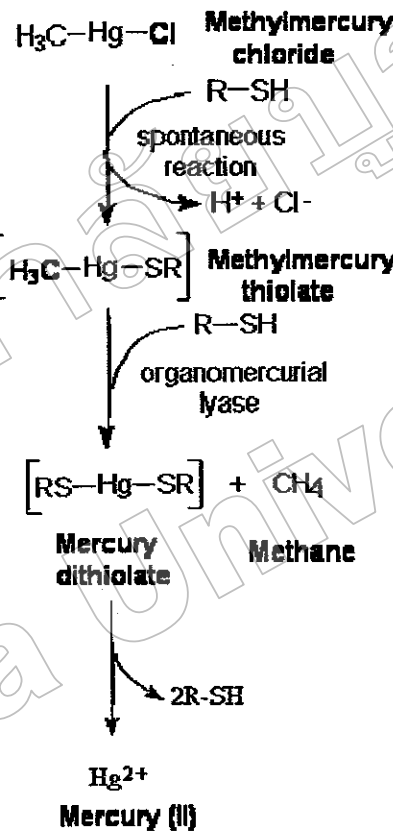
ภาพที่ 2 วัฏจักรทางชีวภาพของปรอทในสิ่งแวดล้อม (Wood, 1975)

กระบวนการเกิดเมทิล化 (Methylation Process)

เมทิล化 เป็นกระบวนการที่เกิดขึ้นในดินตะกอน เนื่องจากปรอทสามารถเปลี่ยนรูปแบบทางกายภาพ และทางเคมีได้ง่าย โดยสามารถเปลี่ยนไปเป็น CH_3Hg^+ , $(\text{CH}_3)_2\text{Hg}$ และเป็นปรอทที่สามารถละลายได้ นอกจากนี้บางส่วนก็สูญหายไปอยู่ในดินตะกอน ปรอทสามารถเคลื่อนย้ายเข้าไปติดอยู่ในดินตะกอนในรูปของ CH_3Hg^+ หรือ $(\text{CH}_3)_2\text{Hg}$ หรือสารอนินทรีย์ในรูปของก้าช โดยการเปลี่ยนรูปของปรอท จะเริ่มจากปรอทในรูปโลหะ (Metallic Mercury) จะถูกออกซิเดต (Oxidize) ส่วนปรอทฟินิล (Phenyl Mercury) และปรอทอัลกิล (Alkyl Mercury) จะถูกถ่ายพันธะ จากนั้นด้วยกระบวนการทางชีววิทยา อิօອนปรอทจะถูกเมทิเลต (Methylate) ได้เป็นปรอทโมโนเมทธิล (Monomethyl Mercury) หรือ ปรอทไดเมทธิล (Dimethyl Mercury) ทั้งนี้ปริมาณสัมพันธ์ของการเกิดปรอทโมโนเมทธิล (Monomethyl Mercury) และปรอทไดเมทธิล (Dimethyl Mercury) ขึ้นอยู่กับชนิดของจุลชีพ ปริมาณสารอินทรีย์ ความเข้มข้นของปรอท อุณหภูมิ และ pH ในแหล่งน้ำ (Jensen & Jernelov, 1969; Wood, 1968) โดยความเข้มข้นของ CH_3Hg^+ จะสูงเมื่อ pH ของน้ำต่ำ เพราะ $(\text{CH}_3)_2\text{Hg}$ ถูกย่อยสลายไปเป็น CH_3Hg^+ ได้ที่สภาพ pH ต่ำ จะเกิดในสภาพที่ไม่มีออกซิเจนในดินตะกอน (วรวิทย์ ชีวพร, 2543)

กระบวนการเกิดเมทิลเดชั่นสามารถเกิดได้ 2 ขั้นตอน คือ

1. เมทิลเดชั่น (Methylation) เป็นการรวม Hg เข้ากับ CH₃-Group
2. ดีเมทิลเดชั่น (Demethylation) เป็นการเคลื่อนย้าย CH₃-Group ออกจาก Hg เป็นขั้นตอนสำคัญในการลดความเป็นพิษ และการปนเปื้อนของprotoxin ในดินตะกอน (ดังแสดงในภาพที่ 3)



ภาพที่ 3 กระบวนการดีเมทิลเดชั่น (Mercury Methylation, 2005)

การเปลี่ยนprotoxinในรูปแบบต่าง ๆ ให้เป็นprotoxinในรูปเมทิลเมอร์คิวเร็นนั้นพบว่า เกิดในชั้นของดินตะกอน ถ้าproto toxinอยู่ลึกลงไปในชั้นดินตะกอนก็จะไม่มีผลต่อการเกิดเมทิลเดชั่น ถ้าไม่ถูกกระบวนการ อย่างไรก็ตามการเคลื่อนไหวของกระแสน้ำ และปรากฏการณ์ทางกายภาพอื่น ๆ เช่น สัตว์เล็ก ๆ จำพวก Worm สามารถรับกระบวนการชั้นของดินตะกอนที่มีproto toxin 2 เซนติเมตร พวกสัตว์ที่มีขนาดใหญ่เช่น เช่น หอย สามารถรับกระบวนการชั้นดินตะกอนได้ลึกอย่างน้อย 9 เซนติเมตร และในบริเวณที่มีการบุดลอกผิวน้ำของดินตะกอน จะมีการรับกระบวนการระดับลึกหลาย ๆ ฟุต (D'Itri & D'Itri, 1977)

ปัจจัยที่ส่งผลต่อกระบวนการเกิดเมทิลเลชันของprotoในดินตะกอน

การเปลี่ยนรูปของprotoอนทรีเป็นprotoอินทรีนั้นเชื่อมโยงกับองค์ประกอบทางสิ่งแวดล้อมหลายประการ เช่น ชนิด และปริมาณของแบคทีเรียในดินตะกอน ความเป็นกรดเป็นด่างของน้ำ สภาวะการมีออกซิเจน และขาดออกซิเจน ปริมาณสารอินทรีในดินตะกอน อุณหภูมิ และปริมาณชัลเฟอร์ (Matsumura, Gotoh & Bouš, 1972)

1. ปริมาณชัลเฟอร์

นอกจากนี้ยังพบว่า ชัลเฟอร์ ยังมีผลกระบวนการ Hg Methylation อีกด้วย ซึ่งสอดคล้องกับการศึกษาของ Jean et al. (1998) ที่ทำการศึกษาในห้องปฏิบัติการพบว่า กระบวนการ Hg Methylation ในน้ำนี้ เกิดขึ้นอย่างมาก ส่งผลทำให้ปริมาณ MeHg ในน้ำมี ความเพิ่มขึ้นอยู่ในปริมาณที่ต่ำมาก คือ น้อยกว่า 0.05% ของprotoรวมที่ตรวจพบในน้ำ หรือมี ความสามารถในการเกิดกระบวนการ Hg Methylation ที่เกิดในน้ำเพียง $< 2 \times 10^{-5} \text{ mg l^{-1} h^{-1}}$ เท่านั้น นอกจากนี้ยังพบว่า Hg Methylation Rate ยังมีปัจจัยอีกตัวที่สำคัญนั้นคือ ปริมาณ ความเพิ่มขึ้นของชัลเฟอร์ในตะกอนดิน ซึ่งจากการศึกษาพบว่า ชัลเฟอร์ จะไปมีผลต่อ SRB: Sulfate Reducing Bacteria ซึ่งจัดเป็น Methanogenesis Bacteria

ซึ่งสอดคล้องกับการศึกษาของ Devereux et al. (1996) ที่ทำการศึกษา ปริมาณของ SRB: Sulfate Reducing Bacteria และกระบวนการเกิด Hg Methylation ในดินตะกอนปากแม่น้ำ ตามระดับความลึกพบว่า ปริมาณของชัลเฟอร์ มีผลต่อ Hg Methylation โดยพบว่า ชัลเฟอร์ จะมี ปริมาณสูงในช่วงรอยต่อระหว่างน้ำกับดินตะกอนที่ระดับความลึก +4 ถึง -4 เซนติเมตร แล้วจะ ค่อยๆ ลดลง ตามระดับความลึกของดินตะกอน โดยเมื่อทำการเปรียบเทียบกับ Hg Methylation Rate พบว่า Hg Methylation Rate จะมีความสัมพันธ์กับแบบแปรผันตรงกับปริมาณความเพิ่มขึ้น ของชัลเฟอร์ในดินตะกอน กล่าวคือ เมื่อปริมาณชัลเฟอร์มีปริมาณลดลง กระบวนการ Hg Methylation ก็จะลดลงด้วยเช่นกัน เนื่องจากกิจกรรมของ Sulfate Reducing Bacteria: SRB ลดลง

Jelena et al. (2004) พบว่า กระบวนการเกิด Hg Methylation มีความสัมพันธ์กับอัตราเร็ว ของกระแสน้ำ โดยถ้ากระแสน้ำมีความเร็วต่ำ อัตราการเกิด Hg Methylation จะมีความสามารถ เกิดได้ในอัตราที่สูง อีกทั้งอัตราการเกิดกระบวนการ Hg Methylation จะเชื่อมโยงระดับของ ชัลเฟอร์ ในดินตะกอนด้วย โดยถ้าดินตะกอนบริเวณใดมีระดับของชัลเฟอร์ต่ำ บริเวณนั้นจะเกิด กระบวนการ Hg Methylation ในอัตราที่สูง และนอกจากนี้ยังมีปัจจัยอื่น ๆ อีก ที่เกี่ยวข้องกับ การสะสมprotoในดินตะกอน เช่น Sulfur, DOC (Dissolve Organic Carbon), ขนาดของตะกอน เป็นต้น

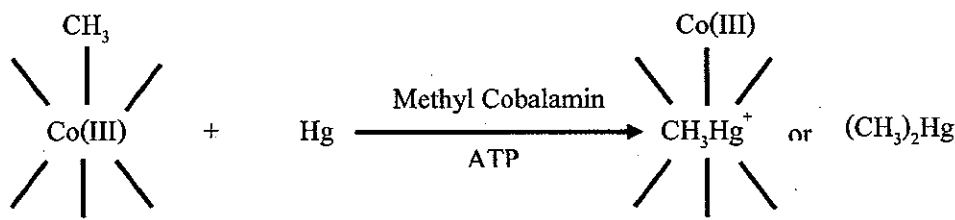
2. แบคทีเรียกับการเกิดเมทิลเลชัน

แบคทีเรีย เป็นสาเหตุในการเปลี่ยนแปลงprotothru ต่าง ๆ ให้เป็นเมทิลเมอร์คิวรี ในธรรมชาติ เพราะสามารถเปลี่ยนแปลงรูปprototh ได้หลายทาง แบคทีเรียบางประเภทจะดูดซึม prototh ภายนอกของผนังเซลล์ให้เปลี่ยนเป็นไอprototh โดยตรง เช่น *Escherichia Coli* จะดูดซึมprototh ไว้แล้วอ่อนprototh (Mercuric Ion) จะรวมตัวกับของเหลวภายในเซลล์ (Cytoplasm) และถลายตัว เป็นสารประกอบอื่นให้อยู่ในรูปที่ระเหยได้ และพบว่า แบคทีเรียนิด *Clostridium cochlearium* สามารถสร้างเมทิลเมอร์คิวรีจากprotothอนทรี สำหรับ *Pseudomonas aeruginosa proteus* สามารถเปลี่ยนเมทิลเมอร์คิวริกไอออกให้เป็นprotothในรูปโลหะได้ ซึ่งต่อมา (Jensen & Jernelov, 1969) สามารถแสดงให้เห็นได้ว่าสิ่งมีชีวิตในดินตะกอนสามารถทำให้เกิดเมทิลเด็ปprotothอนทรีได้ (มาดี เลาสุพเสน, 2528)

Jensen and Jernelov (1969) พบว่า protothในรูปไดโวนเดนต์ (Hg^{2+}) ในโคลนตม สามารถถูกเปลี่ยนให้เป็นprotothอนทรีในรูปเมทิลเมอร์คิวรี และไดเมทิลเมอร์คิวรีได้ โดยกระบวนการทางชีวภาพ

Wood (1968) พบว่า แบคทีเรียที่สามารถเปลี่ยนprotothอนทรีให้กลายเป็นprotothอนทรีได้แก่ Methanogenic Bacteria การเปลี่ยนรูปดังกล่าว จะทำให้เกิดprotothอนทรีได้ ทั้งสองรูปแบบคือ เมทิลเมอร์คิวรี และไดเมทิลเมอร์คิวรี โดยทำการศึกษากระบวนการเมทิลเลชันแบบ Nonenzymatic โดยสกัดเซลล์อิสระของ Methanogenic Bacterium กับ Methyl Cobalamin (Vitamin B₁₂- CH₃) ที่ให้ CH₃- Group สรุปได้ว่า จุลชีพ ที่สามารถสังเคราะห์วิตามิน B₁₂ ได้ ก็จะสามารถสังเคราะห์เมทิลเมอร์คิวรีได้

Dunlap (1971) พบว่า protothอนทรีที่สะสมในสิ่งแวดล้อมสามารถถูกเปลี่ยนเป็นprotothอนทรีซึ่งมีความเป็นพิษสูงได้ โดยแบคทีเรียที่สามารถสังเคราะห์สารมีเทน (Methane Synthesizing Bacteria) ได้โดยใช้โคบอโลท (III) ในวิตามิน B₁₂ เป็นตัวช่วย กลุ่มนี้มีตัวช่วย (CH₃- Group) จะจับตัวกับโคบอโลท (III) และถูกเคลื่อนย้ายต่อไปจับกับประจุ Hg²⁺ โดยผ่านเมทิลคอบาลาไมน์ (Methyl Cobalamin) (ดังแสดงในภาพที่ 4)



ภาพที่ 4 กระบวนการเมทิลเลชันโดยแบคทีเรียที่สามารถตั้งเคราะห์สารมีเทน ได้โดยใช้ โคบัลท์ (III) ในวิตามิน B_{12} เป็นตัวช่วย (Dunlap, 1971)

3. อุณหภูมิ

จากการศึกษาของ Jean et al. (1998) ในห้องปฏิบัติการพบว่า ช่วงของอุณหภูมิที่ส่งให้เกิด Hg Methylation ที่ดีที่สุดอยู่ในช่วง 35–45 องศาเซลเซียส ซึ่งเป็นช่วงที่เหมาะสมต่อการทำงานของ Bacteria และกระบวนการ Hg Methylation จะหยุดลง เมื่ออุณหภูมิประมาณ 55 องศาเซลเซียส เนื่องจากอุณหภูมิมีผลต่อการทำงานของ Enzyme และการทำงานของ แบคทีเรีย ซึ่งจัดว่าเป็นปัจจัยสำคัญที่ควบคุมกระบวนการ Hg Methylation.

4. ความเค็ม

จากการศึกษาของ Jean et al. (1998) ในห้องปฏิบัติการ โดยทำการบ่มที่อุณหภูมิ 25 องศาเซลเซียส และทำการศึกษาผลของการบ่มที่มีต่อ กระบวนการ Hg Methylation โดยใช้ NaCl เป็นตัวให้ความเค็ม ใน 3 ระดับ และทำการรักษาการนำไปไฟฟ้าไว้ ที่ 116, 248 and 314 $\mu\text{S cm}^{-1}$ โดยมี 116 $\mu\text{S cm}^{-1}$ เป็นชุดควบคุม และผลที่ได้พบว่า ที่ระดับของค่า การนำไปไฟฟ้าสูงๆ จะมี Hg Methylation Rate ต่ำ โดยพบว่า 116, 248 and 314 $\mu\text{S cm}^{-1}$ จะมี Hg Methylation Rate 0.19, 0.15, <0.05 (MeHg จาก % ของปรอทรวม) เมื่อจาก Cl^- จะเข้าไปขับกับ Hg ได้เป็น HgCl_2

5. ค่าความเป็นกรด-ด่าง ในการเกิดเมทิลเลชัน

อัตราการเกิดเมทิลเลชันขึ้นอยู่กับ ค่าความเป็นกรด-ด่าง โดยการเกิดขึ้นของเมทิลเมอร์ คิวเวีย และ ไโอดิเมอร์คิวเวินน์ ที่ค่าความเป็นกรด-ด่างสูงจะเกิดไโอดิเมอร์คิวเวียซึ่งจะระเหยไปในอากาศได้ง่าย ไม่สะสมในสิ่งมีชีวิตในแหล่งน้ำ ซึ่งในธรรมชาติที่ค่าความเป็นกรด-ด่างต่ำเกิดขึ้นได้ยากมาก จึงมีการเกิดไโอดิเมอร์คิวเวียที่ไม่อู้นในสภาพด่าง พ布ว่า ที่ค่าความเป็นกรด-ด่าง มากกว่า 8–9 กระบวนการเมทิลเลชันที่เกิดขึ้นจะเกิดเป็นไโอดิเมอร์คิวเวียมากกว่า และที่ค่าความเป็นกรด-ด่าง ต่ำกว่า 8 ลงมา จะเกิดเมทิลเมอร์คิวเวียซึ่งสามารถเข้าไปสะสมในสิ่งมีชีวิตได้ (Waite, 1984 อ้างถึงใน ปีบัตรตน์ อุตสาหพานิช, 2548)

Jernelov (1969) พบว่า อัตราการการเกิดเมทิลเดชั่นของprotoและprotoอนิทรีย์ ในสิ่งแวดล้อมจะขึ้นกับค่าความเป็นกรด-ด่าง ของลำธาร และทะเลสาบ ความเข้มข้นของ เมทิลเมอร์คิวเรจะสูงเมื่อค่าความเป็นกรด-ด่าง ของน้ำต่ำ เพราะ ไดเมทิลเมอร์คิวเรจะถูกย่อยลาย ไปเป็นเมทิลเมอร์คิวเรได้ที่สภาพค่าความเป็นกรด-ด่าง ต่ำ และจะเกิดในสภาพที่ไม่มีออกซิเจน ในดินตะกอน

Martha (1997) พบว่า ค่าความเป็นกรด-ด่าง ต่ำจะเพิ่มอัตราการเกิดเมทิลเดชั่น แสดงว่า การเกิดกระบวนการเมทิลเดชั่น จะเพิ่มขึ้นถ้าแหล่งน้ำนั้น ไดรับอิทธิพลจากฝุ่นกรด

Larsson (1970) พบว่า ค่าความเป็นกรดค้างมีอิทธิพลต่อการเปลี่ยนรูปของproto ในสภาพที่เป็นค้างจะทำให้เกิดไดเมทิลเมอร์คิวเร แต่ถ้าอยู่ในสภาพที่เป็นกลาง หรือ เป็นกรด เล็กน้อยก็จะทำให้มีการเปลี่ยนรูปเป็นเมทิลเมอร์คิวเรมากขึ้น (Study Group on Mercury Hazards, 1970) นอกจากนี้ สภาวะที่เป็นกรดจะมีผลทำให้ไดเมทิลเมอร์คิวเรเปลี่ยนรูปเป็นเมทิลเมอร์คิวเรได้โดยง่าย

นอกจากนี้ การเพิ่มความเป็นกรดในน้ำจะทำให้ Inorganic Mercury ละลายน้ำได้มากขึ้น ซึ่งทำให้แบคทีเรียสามารถนำไปใช้ในกระบวนการผลิต Methylmercury ได้มากขึ้น ตามไปด้วย

6. การออกซิเดชั่นของ Metallic Mercury (Hg^0) เป็นเมอร์คิวโริโอน (Hg^{2+})

การออกซิเดชั่น Hg^0 ให้เป็น Hg^{2+} ในดินตะกอนเกิดขึ้นได้ต่อเมื่อมี Redox Potential เพียงพอ ซึ่งพิจารณาได้จากสมการ

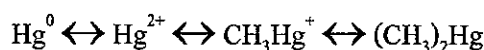
$$E = 850 + 30 \log \left(\frac{Hg^{2+}}{\alpha} \right)$$

โดยที่ E = Redox Potential ที่จำเป็นในการออกซิเดชั่น Hg^0 ให้เป็น Hg^{2+}

α = ค่าประมาณแรงดึงเหนี่ยวระหว่าง Hg^{2+} กับสารอินทรีย์

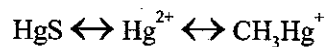
30 = ค่า Nernst Constant

ในการศึกษาของ (Werner, 1969 อ้างถึงใน ปิยะรัตน์ อุตสาห์พานิช, 2548) ได้ค่า α -Coefficient 10^{-1} จะน้ำมีการเกิดขึ้นของ Hg^{2+} 2 มล./ล ($\approx 10^{-5}$) การออกซิเดชั่นจะต้องการ Redox Potential น้อยกว่า 80 มิคลิโวลด์ ซึ่งในธรรมชาติถ้าแหล่งน้ำมีออกซิเจนเพียงพอ และ pH เป็นกลางหรือใกล้จะเป็นกลาง จะมี Redox Potential อยู่ในช่วงประมาณ 520 มิคลิโวลด์ จึงพบว่า การออกซิเดชั่นจะเกิดขึ้นในทันทีที่แหล่งน้ำมีสารอินทรีย์ และออกซิเจน ซึ่งจะมีผลต่อเนื่องในการเกิดเมทิลเดชั่น (นาลี เลาสุทแสน, 2528)



7. เมธิลเลชั่นของเมอคิวริกซัลไฟฟ์ (Mercuric Sulfide)

เมอคิวริกซัลไฟฟ์ (HgS) เป็นรูปแบบหนึ่งของ Hg^{2+} จะถูกออกซิไดซ์ก่อนที่เมธิลเลชั่นจะเกิดขึ้น โดยที่เมอคิวริกซัลไฟฟ์เกือบจะไม่ละลายอยู่ในน้ำ (Solubility Product = 10^{-53}) เมื่อในแหล่งน้ำมีออกซิเจน เมอคิวริกซัลไฟฟ์จะถูกออกซิไดซ์เปลี่ยนเป็น เมอคิวริกซัลเฟต ($HgSO_4$) และกระบวนการ การทางชีววิทยาจะทำให้เกิดเมธิลเลชั่น



พบว่า อัตราส่วนของอัตราการเกิดเมธิลเลชั่นเปรียบเทียบระหว่าง Ionic Divalent Mercury และเมอคิวริกซัลไฟฟ์อยู่ในช่วงประมาณ $1 : 10^{-3}$ (มาดี เลาสุทแสน, 2528)

8. สถานะการมีออกซิเจนและขาดออกซิเจนกับการเกิดเมธิลเลชั่น

มีการศึกษาทางชีวเคมีเกี่ยวกับการเกิดเมธิลเลชั่นของproto โดยการใช้ Methanogenic Bacteria ซึ่งเป็น Anaerobic Bacteria ทำให้เกิดความคิดว่า Biological Methylation ในน้ำ และดินตะกอนที่มีproto ปนเปื้อนความเกิดในสถานะที่ขาดออกซิเจน (Anaerobic Condition) แต่ในน้ำและดินตะกอนในธรรมชาติในสถานะที่ขาดออกซิเจนมีไฮโคลเรนซัลไฟฟ์อยู่ และจะเกิดการรวมตัวกับproto เป็นprotoซัลไฟฟ์ ซึ่งจะเกิดเมธิลเลชั่นได้น้อยมาก โดยโอกาสที่จะเกิดการออกซิเดชั่นเปลี่ยนซัลไฟฟ์ (Sulfide) เป็นซัลเฟต (Sulfate) เพื่อให้ได้ Hg^{2+} ในการเมธิลเลชั่นน้อยมาก ซึ่งหมายความว่า ในระบบนิเวศของแหล่งน้ำที่อยู่ในสถานะขาดออกซิเจน และมีไฮโคลเรนซัลไฟฟ์จะมีผลในการยับยั้งการเกิดเมธิลเลชั่น (มาดี เลาสุทแสน, 2528)

ซึ่งจากเหตุเหล่านี้เอง จึงทำให้มีปริมาณการสะสมตัวของ Methymercury ในดินตะกอน แม่น้ำสูงกว่าตะกอนทะเล เพราะตะกอนแม่น้ำมีปริมาณสารอินทรีย์ (Organic Matter) สูง และมีความเค็ม (Salinity) และ pH ต่ำกว่า ตะกอนดินทะเล.

การกระจายของprotoในน้ำและดินตะกอน

แหล่งกำเนิดที่สำคัญของprotoในน้ำทะเลที่เป็นทะเลเปิดส่วนใหญ่ จะเกิดจากการผุพังของหิน (GESAMP, 1990) ส่วนแหล่งกำเนิดของprotoในน้ำทะเลชายฝั่งส่วนใหญ่เกิดจาก การปนเปื้อนน้ำทึบในบริเวณชายฝั่ง แต่ทั้งนี้ขึ้นอยู่กับการเปลี่ยนแปลงสภาพทางกายภาพ และทางเคมีของน้ำทะเลในบริเวณชายฝั่งด้วย เช่น รูปแบบของการปล่อยน้ำทึบ ความสามารถของproto ในการจับตัวกับสารแขวนลอยในน้ำทะเลอันตรารากคตตะกอนของสารแขวนลอย ASEAN-Canada CPMS-II (1999) ได้ศึกษาความเข้มข้นของprotoในน้ำทะเล และดินตะกอนที่พบในบริเวณ เอเชียตะวันออกเฉียงใต้ และบริเวณต่าง ๆ จากทั่วโลก (ดังแสดงในตารางที่ 3 และ 4) สำหรับความเข้มข้นของprotoในสารแขวนลอย (Particulate Mercury, Hg-P) ที่พบในแหล่งน้ำ

อาจจะถูกตรวจวัดในรูปของปรอททั้งหมดที่ละลายน้ำ (Total Mercury, Hg-T) ได้ เช่นกัน (นภกุกษ์ วัฒนวิทยุกร, 2545)

IPCS/ WHO (1989) ได้รายงานว่า ค่าเฉลี่ยปริมาณความเข้มข้นของปรอทในดินตะกอน ในบริเวณที่มีการปนเปื้อนปรอทของເອເຊີຍຕະວັນອກເຈີ່ງໄດ້ມีค่าอยู่ระหว่าง 0.02-0.10 ໄນໂຄຮັນຕ່ອກຮັນນໍາໜັກແທ້ Magos (1990) ได้รายงานว่า ความເປັນເຂົ້າປ່ອທໃນນໍາທະເລໃນບໍລິສັດທີ່ໄມ່ມີການປັນເປື້ອນມີຄ່າຕໍ່ກວ່າ 0.003 ໄນໂຄຮັນຕ່ອລິຕຣ ແລະ ความເປັນເຂົ້າປ່ອທໃນດິນຕະກອນໃນບໍລິສັດທີ່ໄມ່ມີການປັນເປື້ອນມີຄ່າຕໍ່ກວ່າ 0.008 ໄນໂຄຮັນຕ່ອກຮັນໃນບໍລິສັດທີ່ໄມ່ມີການປັນເປື້ອນມີຄ່າຕໍ່ກວ່າ 0.008 ໄນໂຄຮັນຕ່ອກຮັນໃນບໍລິສັດທີ່ໄມ່ມີການປັນເປື້ອນມີຄ່າຕໍ່ກວ່າ 0.40-350 ໄນໂຄຮັນຕ່ອກຮັນນໍາໜັກແທ້ Kapauan et al. (1982) ได้ศึกษาผลกราฟบทต່ອສິ່ງແວດລ້ອມຫຍຸ່ງຈາກເໜີອງແຮ່ປ່ອທຮ້າງທີ່ຈ່າວສອນດ້າ (Honda Bay) ໃນປະເທດຟີລິປິປິນ ພບວ່າ ມີຄວາມເປັນເຂົ້າປ່ອທໃນນໍາທະເລ 0-0.242 (N=53) ໄນໂຄຮັນຕ່ອລິຕຣ ແລະ ມີຄວາມເປັນເຂົ້າປ່ອທໃນດິນຕະກອນ 0.001-2.433 ໄນໂຄຮັນຕ່ອກຮັນນໍາໜັກແທ້ (N=17) GESAMP (1990) ได้รายงานຄວາມເປັນເຂົ້າປ່ອທໃນນໍາທະເລປົດ ແລະ ທະເລ່າຍຝຶ່ງ (Surface Water) ໃນທົງເອເຊີຍ ບໍລິສັດທະເລເຈີ່ງໄດ້ ມີຄ່າ 0.003-0.005 ໄນໂຄຮັນຕ່ອລິຕຣ (ນภกุกษ์ วัฒนวิทยุกร, 2545)

ตารางที่ 3 ຄວາມເປັນເຂົ້າປ່ອທໃນນໍາທະເລທີ່ພບໃນບໍລິສັດເອເຊີຍຕະວັນອກເຈີ່ງໄດ້ ແລະ ບໍລິສັດອື່ນ ລ (ນภกุกษ์ วัฒนวิทยุกร, 2545)

Location	Concentration ($\mu\text{g/L Hg}$)	Reference
Open Ocean (General)	0.0005 – 0.003	IPCS/ WHO (1989)
Coastal Seawater (General)	0.002 – 0.015	IPCS/ WHO (1989)
Marine Water (Unpolluted)	<< 0.003	Magos (1990)
Marine Water (Polluted)	0.02 – 0.40	Magos (1990)
Japan Sea	0.0059 ± 0.0018	GESAMP (1990)
East and South China Seas	0.0057 ± 0.0023	GESAMP (1990)
Tokyo Bay, Japan	0.003 ± 0.005	GESAMP (1990)
ASEAN REGION		
Semarang, Indonesia	1.883	Sunoko (1995)
Marunda Estuary, Jakarta Bay, Indonesia	3 – 7	Yulianda and Nurjaya (1994)
Honda Bay, Philippines	ND – 0.242	Kapauan et al. (1982)
Singapore Coastal Waters	ND – 2.7	Makjanic et al. (1995)
Chao Phraya River Estuary	0.002 – 0.018	Sirirattanachai, S. (2001*)

ND = Not detected (Detection Limit not Specified)

ตารางที่ 4 ความเข้มข้นของปรอทในดินตะกอนที่พบริเวณเอเชียตะวันออกเฉียงใต้
และบริเวณอื่น ๆ (นกฤกษ์ วัฒนวิทถุร, 2545)

Location	Concentration ($\mu\text{g/g Hg}$)	Reference
Marine Sediment (Unpolluted)	<< 0.08 D	Magos (1990)
Marine Sediment (Polluted)	0.4 – 350 D	Magos (1990)
ASEAN REGION		
Semarang, Indonesia	0.024 – 0.046	Sunoko (1995)
Honda Bay, Philippines	0.001 – 2.433	Kapauan et al. (1982)
Gulf of Thailand (4 River Mouths)	0.07 – 3.20 D	Menasveta and Cheevaparanapiwat (1981)
Chao Phraya River estuary	0.2 – 0.77	Sirirattanachai, S. (2001*)

D = Dry Weight

การสะสมของปรอทในดินตะกอน

ในการศึกษาการปนเปื้อนของปรอทในแหล่งน้ำต่างๆ การวิเคราะห์ปริมาณปรอทในน้ำไม่สามารถเป็นดัชนีของการปนเปื้อนได้ดี ทั้งนี้ เพราะปรอทที่ถูกปล่อยลงสู่แหล่งน้ำจะถูกคุกซับ (Adsorb) เข้าไปอยู่ในอนุภาคของตะกอนที่แขวนลอย ทั้งที่เป็นพิษสารอินทรีย์และสารอนินทรีย์ และตกตะกอนลงสู่พื้นท้องน้ำในเวลาต่อมา ทำให้ปรอทมีแนวโน้มที่จะสะสมในดินตะกอนมากกว่าในน้ำ ดังนั้นการติดตามการปนเปื้อนของปรอทจึงควรตรวจสอบในดินตะกอนมากกว่าในน้ำ ดินตะกอนเป็นสิ่งที่ประกอบด้วย โคลน ชิลิกา สารอินทรีย์ ออกไซด์ของโลหะ คาร์บอนเนต ชัลไฟด์ และแร่ธาตุชนิดต่าง ๆ ซึ่งสิ่งเหล่านี้ล้วนมีผลต่อการสะสมของปรอทในดินตะกอนโดยทั่วไปมีปัจจัยที่เกี่ยวข้องกับการสะสมของปรอทในดินตะกอนอยู่ 5 ประการ คือ

1. การคุกซับกับอนุภาคต่าง ๆ ในดินตะกอน
2. การตกตะกอนของสารประกอบโลหะ
3. การตกตะกอนร่วมของโลหะโคลนไฮดรัสและแมงกานีสออกไซด์
4. การจับกับสารอินทรีย์ต่าง ๆ
5. การแทรกตัวอยู่ในผลึกของแร่ต่าง ๆ

นักวิทยาศาสตร์ที่ทำงานด้านโลหะหนักในสิ่งแวดล้อม พยายามจะแยกปริมาณโลหะหนักในดินตะกอนที่เกิดจากธรรมชาติออกจากปริมาณโลหะหนักในดินตะกอนที่เกิดจากการกระทำของมนุษย์ เพื่อที่จะได้เห็นลักษณะของการมลพิษของโลหะหนักในดินตะกอนได้ชัดเจนขึ้น การแยกแยะดังกล่าวทำได้หลายวิธี วิธีการหนึ่งที่ใช้กันคือ การตรวจสอบความเข้มข้นของโลหะหนักในดินตะกอนว่ามีการเปลี่ยนแปลงความเข้มข้นในระดับความลึกหรือไม่ ถ้าพบว่า มีความเข้มข้นของโลหะหนักในดินตะกอนชั้นบนมากกว่าในตะกอนในระดับลึกลงไป อาจสรุปได้ว่า ความเข้มข้นของโลหะหนักที่เพิ่มขึ้นในดินตะกอนชั้นบนเกิดจาก การกระทำของมนุษย์ (Suess & Erlenkeuser, 1975)

protoที่สะสมในดินตะกอนได้มาจากการธรรมชาติ และจากการกระทำของมนุษย์ ในอ่าวมีนาตามที่เกิดมลภาวะ พ布ปริมาณprotoในดินตะกอนสูงถึง 2,010 ไมโครกรัมต่อกิรัม (น้ำหนักแห้ง) ซึ่งในระดับปกติดินตะกอนในแหล่งน้ำทั่วไป ทะเลสาบ และมหาสมุทร มีprotoต่ำกว่า 70-100 นาโนกรัมต่อกิรัม (Albert et al., 1990)

protoเมื่อถูกปล่อยลงในแหล่งน้ำ ส่วนใหญ่จะถูกดูดซับ (Absorb) อยู่บนผิวน้ำภาคของตะกอนที่แขวนลอยที่เป็นพ่วงสารอินทรีย์และอนินทรีย์ และตกลงสู่พื้นท้องน้ำในเวลาต่อมา protoในแหล่งน้ำพบอยู่ในหลายรูปแบบ เช่น

1. รูปที่ละลายน้ำได้
2. Non-Specification Adsorbs
3. Specific-Adsorbs
4. คิเลต
5. ตะกอน

และกระบวนการในการจับกับดินตะกอนอาจเกิดขึ้นโดย

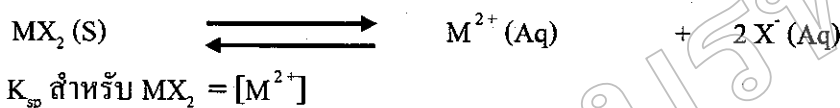
1. การดูดซับโดยประจุบวก
2. การดูดซับบนผิวชั้นไฟฟ์
3. เกิดเป็นสารประกอบprotoเชิงซ้อน โดยพบว่า ในน้ำที่มีสารประกอบอินทรีย์ เช่น

Humate และ Fulvate ละลายอยู่น้ำ สารละลายของสารอินทรีย์ดังกล่าวสามารถรวมตัวกับprotoได้เป็นprotoเชิงซ้อนทั้งที่ละลายน้ำได้ และไม่ได้ ส่วนของprotoเชิงซ้อนที่ละลายน้ำจะตกตะกอนลงสู่ท้องน้ำ ส่วนที่ละลายน้ำได้ก็จะถูกดูดซึม

4. สร้างพันธะโคเวเลนต์ กับสารประกอบประเภท Organometallic
5. การดูดซับโดยคินและแร่ธาตุ (Jonasson, 1970 cited in Thongra-ar, 2001)

การตกตะกอนของโลหะ

ไอออนของโลหะหนักในแหล่งน้ำจะเกิดปฏิกิริยากับไอออนลบ (Anion) ในน้ำ เกิดเป็นสารประกอบ หากสารประกอบที่เกิดขึ้นไม่ละลายน้ำก็จะทำให้มอยู่ได้ท่องน้ำ ซึ่งความสามารถในการละลายน้ำของสารประกอบที่เกิดขึ้น สามารถพิจารณาได้จากค่าคงที่ของผลคูณของความเข้มข้นที่เป็นโนมาร์ของไอออน (Solubility Product Constant, K_{sp}) ในสารละลายที่อุณหภูมิใด ๆ ยกกำลังของจำนวนโมลของไอออนนั้น ดังนี้



โดยที่ หาก $[M^{2+}] > K_{sp}$ ทำให้ MX_2 สามารถตกตะกอนได้ จะเห็นได้ว่า โลหะไอออนที่อยู่ในน้ำ จะสามารถตกตะกอนได้ หรือไม่ ก็ขึ้นอยู่กับผลคูณความเข้มข้นของไอออนของโลหะนั้น ๆ กับความเข้มข้นนิodicของไอออนลบ (Anionic Species) เช่น ไฮดรอกไซด์ คาร์บอเนต ชัลไฟล์ และอื่น ๆ สารประกอบโลหะหนักแต่ละชนิดจะมีความสามารถในการละลายน้ำแตกต่างกัน ขึ้นอยู่กับคุณสมบัติของสารนั้น ๆ (ไกรวิชญ์ ลุงไธสง, 2546)

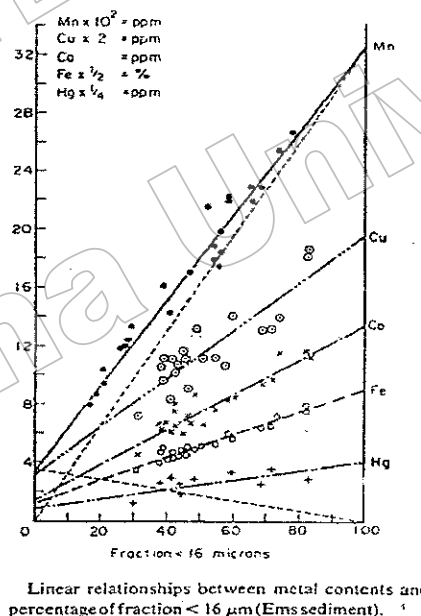
ตะกอนที่ทับถมกันภายในตัวมีพิษทางเดินหายใจและระบบทางเดินอาหาร จึงเรียกว่าเป็นชั้นในแนวนานาภัยที่มีความเสี่ยงต่อสุขภาพมนุษย์ ไม่สามารถกินได้ แต่สามารถนำไปใช้ในกระบวนการก่อสร้างและก่อสร้างได้ แต่ต้องระวังไม่ให้สูญเสียไปโดยไม่ตั้งใจ ไม่มีการเดินทางไกลเป็นกะบี (Slumping) ชั้นล่างของดินตะกอนจะแสดงถึงตะกอนยุคก่อน ๆ การศึกษาชั้นต่าง ๆ ของตะกอน โดยการดูถึงของขนาดตะกอน ชนิดของแร่ และชาตกพืชชากลีด (Fossils) ต่าง ๆ ในตะกอนเรียกว่า Stratigraphy (มนูวดี หังสพุกนัน และศรีรัช ธรรมวนิช, 2529)

อิทธิพลของลักษณะของดินตะกอนกับการกระจายป่า

เนื่องจากตะกอนที่ไม่เป็นเนื้อเดียวกัน (Heterogeneous) จากความแตกต่างของขนาดอนุภาค คุณสมบัติทางเคมี และอื่น ๆ เป็นปัจจัยทำให้ความเข้มข้นของโลหะในตะกอนไม่สามารถเปรียบเทียบกัน ได้ในลักษณะน้ำหนักต่ำน้ำหนักต่ำน้ำหนักตะกอนโดยตรง ขนาดของอนุภาคตะกอนมีอิทธิพล (Grain Size Effect) กับปริมาณโลหะในตะกอนดิน (ดังแสดงในตารางที่ 28) ดังนี้ ตะกอนขนาดเล็ก (ตะกอนขนาดเล็ก เป็นตะกอนเล็กกว่า 50 ไมครอน เช่น ดินเหนียว สารอินทรีย์ ควอตซ์ขนาดเล็ก หรือเฟสปาร์) มีรูปร่างและขนาดหลากหลาย และมีคุณสมบัติที่เป็นประจุไฟฟ้า คุณสมบัตินี้เอง มีความสำคัญในการรวมตัวระหว่างอนุภาคตะกอนกับป่า ด้วยแรงโคลีชัน (Cohesion) เมื่ออุนาภาคตะกอนถูกเคลือบด้วยสารอินทรีย์จะยึดทำให้การดูดซับป่าลดลง ให้ตื้น เมื่อตะกอนมีขนาดเล็กจะมีความสามารถในการสะสมปริมาณป่าที่มากกว่าหนักต่ำลงในลักษณะของการถูกเจือจาง โดยมวลตัวอย่าง

Konrad (1974) พบว่า ความเข้มข้นของprotoที่ในดินตะกอนขึ้นอยู่กับลักษณะโครงสร้างของดินตะกอน โดยดินตะกอนมีลักษณะเป็นดินเหนียว (Clay) และมีสารอินทรีย์อยู่มาก จะมีปริมาณprotoสูง และระดับprotoขั้นพื้นฐาน (Background Level) ในสภาพดินต่างกัน ก็ไม่เท่ากันด้วย ในดินตะกอนที่มีลักษณะเป็นทราย มีปริมาณprotoอยู่ในช่วงน้อยกว่า 0.01-0.05 ไมโครกรัมต่อกรัม ส่วนในดินตะกอนที่เป็นดินเหนียวที่มีสารอินทรีย์นั้นมีปริมาณprotoอยู่ในช่วง 0.05-0.15 ไมโครกรัมต่อกรัม

โดยปกติความเข้มข้นของ protoจะเพิ่มขึ้น จากขนาดที่หานานาดีที่ละเอียด โดยความสัมพันธ์เชิงเส้นตรง (Linear Relationship) ระหว่างprotoที่สะสมในดินตะกอนกับขนาดของดินตะกอนพบว่า การสะสมจะมีมากเมื่อดินตะกอนมีขนาดน้อยกว่า 16 ไมครอน (DeGroot & Allersma, 1975) แต่พบว่า การคัดซับprotoลดลงอีกรึเปล่า ในดินตะกอนที่มีขนาดเล็กกว่า 0.2 ไมครอน สาเหตุจากการลดลงของศักยภาพการคัดซับของผลึกที่ขนาดเล็ก หรือ พากอสัมฐาน (ดังแสดงในภาพที่ 5)



ภาพที่ 5 ความสัมพันธ์เชิงเส้นตรง (Linear Relationship) ระหว่างprotoที่สะสมในดินตะกอน กับขนาดของดินตะกอน (Krenkel, 1975)

การกระจายของprotoหนักในตะกอนดินตามลำดับความถึก

จากตะกอนที่ทับถมกันภายใต้อิทธิพลแรง โน้มถ่วงของโลก จะเรียงตัวเป็นชั้นในแนวขนานกับผิวน้ำของทะเล ถ้าการตกลงตะกอนเป็นไปอย่างมีระเบียบ ตะกอนชั้นล่างจะแสดงถึง

ตะกอนยุคก่อน ๆ (มนูวดี หังสพฤกษ์ และศรีรัชัย ธรรมวนิช, 2529) ดังนี้หากใช้เครื่องจะะตะกอนที่เรียกว่า Corer ทำการเก็บตัวอย่างตะกอนเหล่านี้มาศึกษาแล้ว พบว่า ปริมาณโลหะที่สะสมอยู่ในตะกอนชั้นบน มักมีความเข้มข้นสูงกว่าในตะกอนชั้นล่าง โลหะที่เพิ่มขึ้นมากนั่นมาจากกระบวนการทำของมนุษย์ (Trefry & Presley, 1976; Taylor, 1979) อายุ่ ไร้ก์ตามวิธีการนี้จะให้ผลดีในการที่ต้องไม่ถูก grub กวนหั่นทางกายภาพ และชีวภาพ (Goldberg et al., 1978; Kramer et al., 1991) จะทำให้การศึกษาตะกอนผิวน้ำจะบอกถึงภาวะมลพิษในปัจจุบัน ตะกอนระดับลีกลงไปจะบอกถึงสิ่งที่เกิดขึ้นในอดีต เมื่อลีกลงไปถึงระดับที่การตอกตะกอนเกิดก่อนยุคภาวะมลพิษ ก็จะหาระดับพื้นฐานของโลหะในตะกอนได้ (Bruland et al., 1974) และหากมีการหาอายุทางธรณีวิทยา (Geochronology) ด้วยวิธีกัมมันตรังสีคุณค่าไปด้วย ก็จะสามารถทราบประวัติมลพิษ (Pollution History) ตั้งแต่อดีตจนถึงปัจจุบันได้ดียิ่งขึ้น (Chester & Stoner, 1975) รูปแบบการกระจายของปริมาณโลหะในแท่งตะกอนดิน บริเวณทะเลบอลติก (Baltic Sea) (Erlenkeuser et al., 1974) พบว่า ตะกอนดินที่ระดับความลึก 20 เมตร ขึ้นไป ปริมาณโลหะหนักเพิ่มขึ้น และระดับลีกลงไปจะเหมือนกับมาตรฐานหินตะกอน (Shales Standard) ที่ได้ศึกษาในบริเวณเดียวกัน (Turekian & Wedepohl, 1961)

Kamman and Engstrom (2002) ทำการศึกษาการสะสมตัวของปรอท ในVermont และทะเลสาบ New Hampshire ซึ่งมีสาเหตุจากการปนเปื้อนของปรอทในอากาศ และตกลงสู่ทะเลสาบ New Hampshire ก่อนที่จะสะสมในดินตะกอน ซึ่งผลการศึกษาพบว่า การสะสมตัวของปรอทในดินตะกอนจะมีการสะสมในปริมาณสูงในบริเวณผิวน้ำของดินตะกอน และลดลงเรื่อยตามระดับความลึก โดยพบว่า ค่าการสะสมปรอทในดินตะกอนจะถูกแบ่งออกเป็น 2 ช่วง โดยในช่วงบนของดินตะกอนมีค่าอยู่ในช่วง $21-83 \mu\text{g m}^{-2} \text{yr}^{-1}$ และในช่วงล่างของดินตะกอนมีค่าอยู่ในช่วง $5-17 \mu\text{g m}^{-2} \text{yr}^{-1}$ และเมื่อทำการศึกษาพบว่า ห้ามการตอกตะกอนโดยใช้ ^{210}Pb ประกอบก็จะทำให้ทราบถึงช่วงเวลาของการปนเปื้อนซึ่งพบว่าช่วงที่มีการสะสมของปรอทรวมที่อยู่ในช่วง $21-83 \mu\text{g m}^{-2} \text{yr}^{-1}$ จะตรงกับช่วงที่มีการขยายตัวของอุตสาหกรรม ซึ่งอยู่ในช่วงเวลา ค.ศ. 1850-2000 โดยมีค่าการสะสมปรอทสูงสุดในปี ค.ศ. 1955 และช่วงที่มีการสะสมของปรอทรวมที่อยู่ในช่วง $5-17 \mu\text{g m}^{-2} \text{yr}^{-1}$ ซึ่งตรงกับช่วงที่ยังไม่มีอุตสาหกรรม ซึ่งอยู่ในช่วงเวลา ก่อนปี ค.ศ. 1850

Amason and Fletcher (2003) ได้ทำการศึกษาการปนเปื้อนของ Hg, Cd, Pb และ U ในแท่งดินตะกอนที่ได้จาก Patroon Creek เนื่องจากบริเวณนี้ได้มีบริษัท Mercury Refining (Mereco) และบริษัท National Lead Industries (NLI) ที่ได้มีการใช้ Hg, Cd, Pb และ U ในกระบวนการผลิตซึ่งในการศึกษารังนี้ได้ทำการศึกษาการปนเปื้อน Hg, Cd, Pb และ U ในแท่งดินตะกอนที่มีความยาว 3 เมตร ซึ่งพบว่า Hg จะมีลักษณะการปนเปื้อนเพิ่มขึ้นเรื่อยตามระดับความลึกที่ระดับ

ความลึกต่ำกว่า 1.68 เมตร โดยเริ่มจากความเข้มข้นที่น้อยกว่า 1 mg kg^{-1} และมีความเข้มข้นสูงสุดที่ระดับความลึก 0.8 เมตร โดยมีความเข้มข้น 6.2 mg kg^{-1} ส่วน Cd, Pb, U พบร่วมกันในแนว การปนเปื้อนเพิ่มขึ้นตามระดับความลึกที่ระดับความลึกต่ำกว่า 1.68 เมตร โดยมีค่าการปนเปื้อนสูงสุด 25, 320 และ 3600 mg kg^{-1} ตามลำดับ และเมื่อทำการศึกษาอัตราการตกตะกอนพบว่า Patroon Creek มีอัตราการตกตะกอนอยู่ที่ประมาณ 0.04 m yr^{-1} เมื่อทำการคำนวณย้อนกลับพบว่า ในช่วงปี ค.ศ. 1958-1999 จะตรงกับระดับความลึกที่ 0-1.68 เมตร ซึ่งเป็นช่วงที่ Mercury Refining (Mereco) ดำเนินกิจการ ซึ่งสอดคล้องกับผลการศึกษาการการปนเปื้อนของprotoxinในดินตะกอนที่ระดับความลึกดังกล่าวมีแนวโน้มเพิ่มขึ้นตามระดับความลึก ที่ระดับความลึกต่ำกว่า 1.68 เมตร ส่วนบริษัท National Lead Industries (NLI) เปิดดำเนินงานในช่วงปี ค.ศ. 1958-1984 ซึ่งตรงกับ การศึกษาการปนเปื้อน Cd, Pb และ U ที่มีระดับการปนเปื้อนเพิ่มขึ้นตามระดับความลึก ที่ระดับความลึกต่ำกว่า 1.68 เมตร และที่ระดับความลึกมากกว่า 1.68 เมตร จะมีการปนเปื้อนของ Cd, Pb และ U ลดลงตามระดับความลึก

Jha et al. (1999) ได้ทำการศึกษาการปนเปื้อนของ Hg, Ni ในแท่งดินตะกอนจาก Thane Creek ในประเทศอินเดีย และทำการศึกษาอัตราการตกตะกอน (Sedimentation Rate) โดยใช้เทคนิค ^{210}Pb Dating Technique เนื่องจากในบริเวณดังกล่าวมีโรงงานอุตสาหกรรมเป็นจำนวนมากไม่รู้ว่า จะเป็นโรงงานผลิตอุปกรณ์ไฟฟ้า, โรงงานผลิตโลหะและอุตสาหกรรมปิโตรเคมีต่าง ๆ โดยผลการศึกษาในครั้งนี้พบว่า ปริมาณการปนเปื้อนของprotoxinในช่วง $30\text{-}1,200 \text{ ng g}^{-1}$ ส่วนใหญ่มีแนวโน้มเพิ่มขึ้นตามระดับความลึก ที่ระดับความลึกต่ำกว่า 15 เมตร แล้วลดลงจากนั้นจะค่อยๆ ลดลงตามระดับความลึกที่ระดับความลึกมากกว่า 15 เมตร ส่วนปริมาณการปนเปื้อนของnickel กับ protoxin ไม่แน่ชัดเดียวกับprotoxin โดยมีแนวโน้มเพิ่มขึ้นตามระดับความลึก และเมื่อนำค่า การปนเปื้อนของprotoxin และnickel มาเปรียบเทียบกับอัตราการตกตะกอนก็จะพบว่า ในช่วงที่มี การปนเปื้อนนั้นเกิดขึ้นในช่วง 20 ปีที่ผ่านมา

Remy et al. (2003) ได้ทำการศึกษาการปนเปื้อนของprotoxinในดิน และดินตะกอนจากแม่น้ำ Thur ในประเทศฝรั่งเศส ซึ่งบริเวณดังกล่าวเป็นบริเวณที่มีกิจกรรมทั้งทางการเกษตร และอุตสาหกรรม และในการศึกษาริมน้ำได้ทำการศึกษาหา Background Mercury Levels ในดินตะกอนของแม่น้ำ Thur ในประเทศฝรั่งเศส และศึกษาหาความสัมพันธ์ของการสะสมprotoxinในดินตะกอน กับปริมาณสารอินทรีย์ในดินตะกอน โดยผลการศึกษาพบว่า มีค่าการสะสมตัวของprotoxin ในดินตะกอนอยู่ในช่วง $108\text{-}639 \text{ ng g}^{-1}$ โดยมีค่าเฉลี่ยอยู่ที่ 255 ng g^{-1} และพบว่ามีค่า Background Mercury Levels ที่ไม่ได้มีการปนเปื้อนจากกิจกรรมของมนุษย์โดยมีค่าเฉลี่ยอยู่ที่ $232 \pm 83 \text{ ng g}^{-1}$ และจากการศึกษาความสัมพันธ์ของการสะสมตัวของprotoxinกับปริมาณสารอินทรีย์พบว่า มี

ความสัมพันธ์เชิงบวก โดยพบว่า ในเขตเกย์ตกรรมจะมีแนวโน้มการสะสมตัวของproto และปริมาณสารอินทรีย์จะลดลงตามระดับความลึก โดยมีค่าการสะสมตัวของproto และปริมาณสารอินทรีย์สูงสุดอยู่ที่ระดับความลึก 30 เซนติเมตร พบว่า มีค่าการสะสมตัวของprotoประมาณ $0.1 \mu\text{g g}^{-1}$ ส่วนเขตอุตสาหกรรมจะมีแนวโน้มการสะสมตัวของprotoที่ระดับความลึกต่ำกว่า 30 เซนติเมตร พบว่า มีค่าการสะสมตัวของprotoค่อนข้างคงที่ ประมาณ $12 \mu\text{g g}^{-1}$

Sunderland et al. (2004) ได้ทำการศึกษาการสะสมของprotoในดินตะกอน จากอ่าว Passamaquady และปากแม่น้ำ St. Croix ในประเทศสหรัฐอเมริกา ชี้่ผิดจากการศึกษาครั้งนี้พบว่า การสะสมตัวของprotoบริเวณปากแม่น้ำ St. Croix มีแนวโน้มเพิ่มขึ้นตามระดับความลึกที่ระดับความลึกต่ำกว่า 6 เซนติเมตร และมีปริมาณการสะสมของprotoสูงสุดที่ระดับความลึก 6 เซนติเมตร โดยมีค่าอยู่ที่ประมาณ $3000 \text{ pmol g}^{-1} \text{ dry}$ ($14,955.88 \text{ ng g}^{-1} \text{ dry}$) และจะลดลงตามระดับความลึกที่ระดับความลึกมากกว่า 6 เซนติเมตร ส่วนปริมาณการสะสมตัวของprotoในดินตะกอนที่ได้จากบริเวณอ่าว Passamaquady พบว่า มีแนวโน้มการสะสมตัวค่อนข้างคงที่ โดยมีค่าอยู่ที่ประมาณ $500 \text{ pmol g}^{-1} \text{ dry}$ ($2,492.65 \text{ ng g}^{-1} \text{ dry}$)

Beldowski and Pempkowiak (2003) ได้ทำการศึกษาการแบ่งชั้นของprotoในดินตะกอน และทำการศึกษารูปแบบของprotoในดินตะกอน หากความสัมพันธ์กับปริมาณสารอินทรีย์ และขนาดของอนุภาคดินตะกอน ที่ได้จากบริเวณอ่าว Gdansk ในประเทศโปแลนด์ พบว่า มีการปนเปื้อนของprotoอยู่ในช่วง $28 - 844 \text{ ng/g}$ โดยพบว่า รูปแบบของprotoที่ปนเปื้อนในดินตะกอนส่วนใหญ่จะขึ้นอยู่กับสารจำพวก Humins ซึ่งเป็นรูปที่มีความคงตัวในลักษณะคล้ายสูง ซึ่งจัดเป็น Less Bioavailability และในสถานีที่ใกล้กับปากแม่น้ำพบว่า การสะสมตัวของprotoนั้น ไม่ชัดเจนเนื่องจาก ได้รับอิทธิพลจากการแสลง แต่ในสถานีที่ไกลจากปากแม่น้ำพบว่า การสะสมตัวของprotoที่จับตัวกับ Himins มีแนวโน้มเพิ่มขึ้นตามระดับความลึก และเมื่อเปรียบเทียบปริมาณสารอินทรีย์พบว่า มีความสัมพันธ์เชิงบวกกับการสะสมตัวของproto ส่วนขนาดอนุภาคของดินตะกอนพบว่า ยิ่งดินตะกอนมีขนาดเล็ก ยิ่งมีปริมาณการสะสมของproto เพิ่มขึ้น

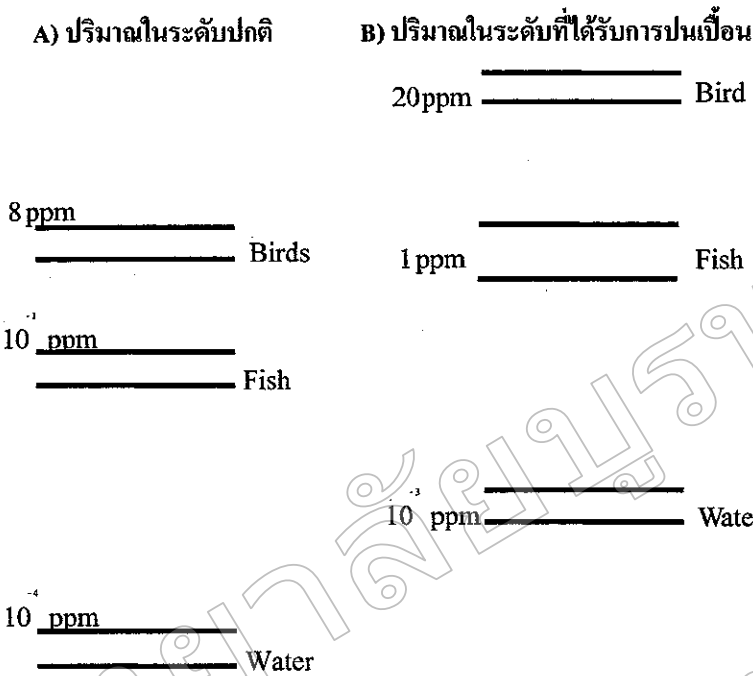
Lockhart et al. (2000) ได้ทำการตรวจสอบความถูกต้องของการสะสมของprotoในแท่งดินตะกอนเพื่อหาประสิทธิภาพการปนเปื้อนของproto จากทะเลสาบ Stuart ใน Ontario ประเทศแคนาดา ซึ่งทะเลสาบ Stuart ที่ใช้การศึกษารั้งนี้จัดว่าเป็นทะเลสาบที่มีขนาดใหญ่ โดยมีพื้นที่ 358 ตารางกิโลเมตร ซึ่งอยู่ใกล้กับแหล่งของproto โดยหนึ่งองของprotoที่ศึกษานี้ได้เริ่มดำเนินกิจการถุうことร้อยปี ค.ศ. 1940-1944 และปี ค.ศ. 1968-1975 โดยทำการเก็บแท่งดินตะกอนมาหาปริมาณการสะสมตัวของproto โดยเทคนิค Cold Vapour Atomic Absorption และทำการหาอายุดินตะกอนด้วยเทคนิค ^{210}Pb Isotope และจากผลการศึกษาพบว่า

ปริมาณการสะสมตัวของprotoทมีแนวโน้มเพิ่มขึ้นตามระดับความลึกจนถึงระดับหนึ่งก่อนที่จะลดลง โดยพบว่า มีค่าเฉลี่ยของการสะสมของอยู่ที่ 150 ng g^{-1} และเมื่อทำการเปรียบเทียบกับการหาอายุของดินตะกอนพบว่า การสะสมตัวของprotoทมีแนวโน้มเพิ่มขึ้นอย่างชัดเจน โดยเริ่มตั้งแต่ปี ค.ศ. 1934 – 1943 ก่อนที่การสะสมตัวของprotoจะค่อยลดลงจนถึงปี ค.ศ. 1991 ซึ่งตรงกับการดำเนินกิจการของเหมืองproto (ถุงแร่ชินนาบาร์) ในช่วงปี ค.ศ. 1940-1944 ซึ่งจากการศึกษาครั้งนี้ ช่วยสนับสนุนความน่าเชื่อถือในการศึกษาถึงการปนเปื้อนตั้งแต่ดีตันถึงปัจจุบัน (Historical of Mercury Contamination) ได้เป็นอย่างดีจากแท่งดินตะกอน ทำให้ทราบถึงช่วงเวลาที่เกิดการปนเปื้อนของproto ได้ แต่ทั้งนี้ก็ควรที่จะศึกษาหาอายุของดินตะกอนหรืออัตราการตกตะกอนควบคู่กันไปด้วย

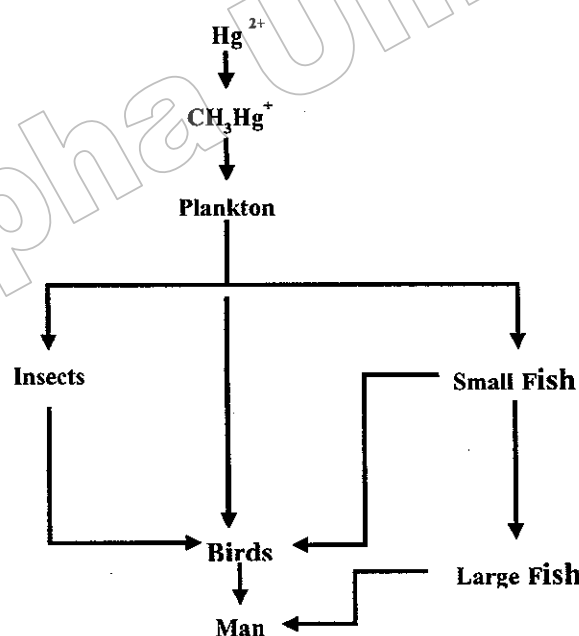
การสะสมprotoในสิ่งมีชีวิต

proto เมื่อถูกปล่อยลงสู่แหล่งน้ำธรรมชาติจะถูกดูดซึมน้ำโดยอินทรีย์วัตถุที่แขวนลอยอยู่ในแหล่งน้ำนั้น และสามารถเคลื่อนย้ายเข้าสู่หัวใจอาหารได้ โดยแพลงค์ตอนพืชซึ่งเป็นผู้ผลิตที่สำคัญในหัวใจอาหาร ได้ดูดซับprotoจากน้ำ และอินทรีย์วัตถุที่แขวนลอยในน้ำเข้าสะสมในร่างกาย เมื่อสิ่งมีชีวิตขนาดเล็ก หรือ ผู้บริโภคอันดับที่หนึ่ง บริโภคแพลงค์ตอนพืช proto ก็สามารถที่จะเข้าไปสะสมในร่างกายของสิ่งมีชีวิตคนนี้ได้ และจะสะสมเพิ่มมากขึ้นเรื่อยๆ ตามลำดับชั้นในหัวใจอาหาร (ดังแสดงในภาพที่ 6) (วรวิทย์ ชีวaph, 2542) ซึ่งการสะสมนี้จะขึ้นอยู่กับชนิดของสัตว์น้ำ (Species) ช่วงเวลาที่ได้รับสาร (Exposure Interval) ลักษณะนิสัยการกินอาหาร (Feeding Habit) อัตราเมtabolic (Metabolic Rate) อายุหรือขนาดของสิ่งมีชีวิต คุณภาพน้ำ และปริมาณของ Methylmercury (Albert et al., 1990)

proto ในสิ่งแวดล้อมสามารถย้อนกลับเข้าสู่ร่างกายของมนุษย์โดยผ่านทางหัวใจอาหาร (Food Chain) แล้วเป็นอันตรายต่อมนุษย์ (ดังแสดงในภาพที่ 7)



ภาพที่ 6 การขยายตัวทางชีวภาพของปรอทในห่วงโซ่อഹารา (Spiro & Stigliani, 1980)



ภาพที่ 7 กลไกการถ่ายทอดปรอทผ่านห่วงโซ่อหารสูมนุษย์ (Knauer & Martin, 1972)

ความเป็นพิษของprotoต่อมนุษย์

protoในธรรมชาติมีหลายรูปแบบ ทั้งprotoอนทรีย์และprotoอินทรีย์จากนี้ยังสามารถเปลี่ยนรูปแบบได้ ซึ่งprotoแต่ละรูปจะมีความเป็นพิษไม่เท่ากัน (ดังแสดงในตารางที่ 5)

ตารางที่ 5 รูปแบบทางเคมี และความเป็นพิษของproto (De, 1994)

รูปแบบ	ความเป็นพิษ
Hg°	โลหะproto: ค่อนข้างเลือยและไม่เป็นพิษ แต่ protoเป็นพิษอย่างร้ายแรงเมื่อสูดเข้าไป
Hg^{2+}	ประจุเมอร์คิวริก: เป็นพิษແดซ์ ไม่สามารถที่จะเคลื่อนย้ายข้ามเนื้อเยื่อ เช่น BBB ซึ่งก็นระหว่างกระแสโลหิตกับเนื้อเยื่อสมอง (ช่วยป้องกันไม่ให้สารพิษผ่านจากกระแสโลหิตเข้าสู่เนื้อเยื่อประสาทส่วนกลาง) สามารถสะสมและทำอันตรายต่อไต เช่น เมอร์คิวริกคลอไรด์ ($HgCl_2$)
RHg^+	protoอินทรีย์เชิงเดียว: มีความเป็นพิษสูง โดยเฉพาะ CH_3Hg^+ (Methylmercury) ทำลายระบบประสาทและสมองอย่างถาวร สามารถเคลื่อนย้ายผ่านเนื้อเยื่อกีดกัน เช่น BBB สามารถได้ดีในเนื้อเยื่อไขมัน
R_2Hg	protoอินทรีย์เชิงคู่: มีความเป็นพิษต่ำ สามารถเปลี่ยนรูปแบบเป็น RHg^+ ได้ในตัวกลางที่เป็นกรด เช่น $(CH_3)_2Hg$
HgS	protoชัลไฟด์: ไม่ละลายน้ำ และไม่เป็นพิษ พนตามธรรมชาติในรูปของแร่ซินนาบาร์ (Cinnabar)
Hg_2^{2+}	ประจุเมอร์คิวรัส: ไม่ละลายน้ำ ในรูปprotoคลอไรด์ความเป็นพิษไม่นัก เช่น เมอร์คิวรีสคลอไรด์ (Hg_2Cl_2)

protoเป็นพิษต่ออวัยวะหลายแห่ง โดยจะเป็นพิษต่ออวัยวะใดนั้นขึ้นอยู่กับรูปของproto ดังนี้

พิษต่อระบบประสาทส่วนกลาง

พิษต่อระบบประสาทส่วนกลางเกิดจาก การได้รับproto และ Alkyl Mercury เช่น สูด Methyl Mercury เข้าไป protoจะมีพิษต่อระบบประสาทที่เกี่ยวข้องกับจิตใจทำให้มีอาการสั่นอย่างรุนแรง โดยขึ้นแรกจะมีอาการมีสั่นแล้วตามด้วยตัวสั่น ถ้าได้รับเข้าไปไม่นานจะมีอาการหวาดกลัวผู้คน นอนไม่หลับ มีอารมณ์ปรวนแปรคือ เก็บกอดลับตื่นเต้น ส่วนผลของprotoในรูป

สารอินทรีย์ เช่น Methyl Mercury นั้นมีต่อระบบประสาทสัมผัสมากกว่า โดยอาการเริ่มแรกพบว่า ผู้ป่วยจะเห็นภาพซ้อน กล้ามเนื้อบีบตัว และชาโดยไม่ทราบสาเหตุ หากปริมาณที่ได้รับสูงขึ้น ประสาทหูจะเสื่อม และสูญเสียความรู้สึกรับรส และกลืน แขนขาทำงานไม่ประสานกัน และเป็นอัมพาตในที่สุด นอกจากนี้คนที่ได้รับพิษจากprotothium อาจการทางประสาท คือ เดียวหัวเราเดี่ยวเรอง ให้สลับกันอีกด้วย

สำหรับพิษของprotothium ที่อยู่ในรูปสารอนินทรีย์นั้น มีต่อระบบประสาทสัมผัสคล้าย ๆ กับผลที่เกิดจาก Methyl Mercury แต่ความเป็นพิษรุนแรงน้อยกว่า อย่างไรก็คือการที่protothium ในรูปสารอนินทรีย์ไปสะสมอยู่ที่ผนังก้นระหว่างเส้นเลือดกับสมองจะทำให้การเคลื่อนที่เข้าออกของกรดอะมิโนในสมองผิดปกติ ส่งผลให้การสังเคราะห์โปรตีนที่ควรจะเกิดขึ้นในสมองถูกยับยั้งจนเกิดการเปลี่ยนแปลงในระบบประสาทและกระบวนการ Glycolysis ของสมองด้วย (มลิวรรณ บุญเสนอ, 2544)

พิษของprotothium

protothium สามารถสะสมในไตได้มากกว่าอวัยวะอื่น ๆ แต่พบว่า ไตเป็นอวัยวะเป้าหมายเฉพาะprotothium ในรูปสารอนินทรีย์เท่านั้น ส่วนprotothium ในรูปสารอนินทรีย์ เช่น Methyl Mercury นักไป้ออกฤทธิ์ที่ระบบประสาทส่วนกลางมากกว่า

อาการเริ่มต้นของพิษจากprotothium ในรูปสารอนินทรีย์ คือ ไตขับปัสสาวะไม่ได้ (Anuria) ซึ่งเป็นผลมาจากการส่วนของทิบูล (Tubules) ของไตอุดตัน หรือเกิดการแพร่ของสารในทิศทางตรงข้ามจากเดิม (Reabsorb) ในบริเวณทิบูล สำหรับคนที่ได้รับprotothium ไปมาก ๆ เป็นเวลานาน ๆ จะมีการสูญเสียโปรตีนในพลาสมาสูงจนเกิดอาการบวมที่ข้อเท้า (มลิวรรณ บุญเสนอ, 2544)

พิษของprotothium อวัยวะอื่น ๆ

ผู้ที่สูดprotothium เข้าไปนาน ๆ จะมีอาการเมื่อยบุช่องปากอักเสบ เหงื่อกอักเสบ และรู้สึกมีรสเผ็ดของโลหะในปาก สีของเลนส์ตาจางลง หากสูดเข้าไปมาก ๆ จะมีอาการระคายเคืองที่ปอด ถ้ารับprotothium เข้าไปจะทำให้ปาก และระบบทางเดินอาหาร ใหมมพองได้ แต่ถ้าร่างกายดูดซึมสารเข้าไปจะเกิดอาการบวม ใหมมในลำไส้เล็ก และไส้ตรงด้วย (มลิวรรณ บุญเสนอ, 2544)

ความเป็นพิษของprotothium ต่อสิ่งมีชีวิตในแหล่งน้ำ

1. ความเป็นพิษของprotothium ต่อพืชน้ำ (Toxicity to Aquatic Plants)

จากการศึกษาของ Boney (1971) พบว่า Mercury Chloride มีผลไปยับยั้งอัตราการเจริญเติบโตของสาหร่ายสีแดง *Plumaria elegans* โดยพบว่าที่ความเข้มข้นของprotothium ที่ 1.0, 0.5 และ 0.25 มิลิกรัมต่อลิตร จะไปยับยั้งอัตราการเจริญเติบโตลง 50% หลังจากที่ได้รับprotothium เป็น

ระยะเวลา 6, 12 และ 24 ชั่วโมงตามลำดับ นอกจากนี้ยังพบว่า protothointhriy (Methyl, Butyl และ Propylmercuric Chlorides) มีความเป็นพิษมากกว่า protothointhriyมาก ซึ่งจากการศึกษาพบว่า อัตราการเจริญเติบโตจะลดลง 50% เมื่อได้รับprototh (Methylmercury) ที่ความเข้มข้น 0.08 และ 0.04 มิลิกรัมต่อลิตร เป็นเวลา 17.5 และ 25 นาทีตามลำดับ ในขณะที่ Propylmercury เข้มข้น 0.5 มิลิกรัมต่อลิตร จะมีผลไปยับยั้งอัตราการเจริญเติบโตลง 50% เมื่อได้รับเป็นระยะเวลา 2.5 นาที และไปยับยั้งอัตราการเจริญเติบโตลง 70% เมื่อได้รับเป็นระยะเวลา 5 นาที

จากการศึกษาของ Brown and Rattigan (1979) ทำการศึกษาความเป็นพิษของ Mercuric Chloride ที่มีผลต่อ Macrophyte (*Elodea Canadensis*) และ Duckweed (*Lemna minor*) พบว่า เมื่อ พืชทั้งสองชนิดได้รับ Mercuric Chloride เป็นเวลา 28 และ 14 วันตามลำดับ ที่ความเข้มข้น 10 มิลิกรัมต่อลิตร พืชทั้งสองชนิดจะตาย นอกจากนี้ยังพบว่า ที่ความเข้มข้น 7.4 และ 1.0 มิลิกรัมต่อลิตร พืชทั้งสองชนิดจะตายลงประมาณ 50% ตามลำดับ ส่วน Macrophyte (*Elodea Canadensis*) ที่ได้รับ Mercuric Chloride ที่ความเข้มข้น 0.8 และ 1.69 มิลิกรัมต่อลิตร จะมี การปริมาณสังเคราะห์แสง และการผลิตออกซิเจนลดลง 50% และ 90% ตามลำดับ

2. ความเป็นพิษของprotothไม่มีผลกระทบสัตว์ไม่มีกระดูกสันหลังในน้ำ (Toxic to Aquatic Invertebrates)

ปัจจัยที่ส่งผลต่อกำลังของprotothต่อสัตว์ไม่มีกระดูกสันหลังในแหล่งน้ำนั้น มีหลายปัจจัยคือกัน เช่น ประเภทของprototh, ระยะของสิ่งมีชีวิต (Stage of The Organism), อุณหภูมิ, ความเค็ม, ความกรดค้าง, ความเร็วของกระแสน้ำ เป็นต้น โดยพบว่า protothจะมีความ เป็นพิษสูงขึ้นถ้าอยู่ในแหล่งน้ำที่มีอุณหภูมิสูง, ความกรดค้างต่ำ, ความเค็มต่ำ โดยพบว่า protothที่ ระดับความเข้มข้นตั้งแต่ 1-10 มิลิกรัมต่อลิตร จะก่อให้เกิดความเป็นพิษขึ้นกับสิ่งมีชีวิต ทั้งนี้ขึ้น อยู่กับชนิดของสัตว์ไม่มีกระดูกสันหลังในแหล่งน้ำ เป็นต้น

Wisely and Blick (1967) พบว่า ความเข้มข้นของprototh (Mercuric Chloride) ที่ทำให้ Bryozoans (*Watersipora cucullata*, *Bugula neritina*), Tubeworms (*Spirobis lamellose*, *Galeolaria caespitosa*), Bivalve mollusks (*Mytilus edulis*, *Crassostrea commercialis*) และ Brine shrimp (*Artemia salina*) ตายลง 50% ภายในเวลา 2 ชั่วโมง (2-h LC₅₀) ได้แก่ 5×10^{-7} , 1×10^{-6} , 7×10^{-7} , 6×10^{-6} , 6.5×10^{-5} , 9×10^{-4} และ 9×10^{-3} mol mercuric chloride/liter ตามลำดับ

Howell (1984) ทำการศึกษาหาค่า LC₅₀ ของ Mercuric Chloride ใน Marine Nematodes โดยทำการเก็บตัวอย่าง Marine Nematode จำนวน 2 ประเภท ได้แก่ ประเภทที่หนึ่ง เป็นประเภทที่ ทนต่อระดับการเปลี่ยนแปลงความเค็ม ได้ในช่วงกว้าง Euryhaline (*Enoplus brevis*) โดยทำการเก็บ จาก 2 แหล่ง ได้แก่ แหล่งที่มีการปนเปื้อน และแหล่งที่ไม่มีการปนเปื้อน และประเภทที่สองเป็น

ประเภทที่ทนต่อระดับการเปลี่ยนแปลงความเค็มได้ในช่วงแคบ Stenohaline (*Enoplus communis*) ซึ่งพบว่า *Enoplus communis* มีค่า LC₅₀ ที่ระดับความเค็มขั้นของ Mercuric Chloride 0.1 มิลิกรัมต่อลิตร เป็นเวลา 65 ชั่วโมง ในขณะที่ *Enoplus brevis* ที่ทำการเก็บจากแหล่งที่ไม่มีการปนเปื้อนพบว่า มีค่า LC₅₀ ที่ระดับความเค็มขั้นของ Mercuric chloride 0.1 มิลิกรัมต่อลิตร เป็นเวลา 415 ชั่วโมง และ *Enoplus brevis* ที่ทำการเก็บจากแหล่งที่มีการปนเปื้อนพบว่า มีค่า LC₅₀ ที่ระดับความเค็มขั้นของ Mercuric Chloride 0.1 มิลิกรัม ต่อลิตร เป็นเวลา 600 ชั่วโมง

Dorn (1974) พบร่วมกับ หอยสองฝา (*Congeria leucophaeata*) ที่ได้รับป्रอท (Mercuric Chloride) ที่ระดับความเค็มขั้น 0, 0.001, 0.01, 0.1 และ 1 มิลิกรัมต่อลิตร เป็นเวลา 48 ชั่วโมง มีอัตราการหายใจเพิ่มขึ้นในทุกระดับความเค็มขั้นเมื่อเปรียบเทียบกับชุดควบคุม

MacInnes (1981) ทำการศึกษาผลการทดลองของป্রอทที่เม็ดอ่อน (*Embryos*) ของ American Oyster (*Crassostrea virginica*) โดยเริ่มทำการทดสอบหลังปฏิสนธิ 2 ชั่วโมง และทำการทดลองต่อไปอีกเป็นเวลา 48 ชั่วโมง ซึ่งพบว่า หลังจากนั้น *Embryos* เริ่มมีพัฒนาการที่ผิดปกติ (Not Undergo Embryogenesis) ที่ระดับความเค็มขั้นของ Mercuric Chloride 5 และ 10 มิลิกรัมต่อลิตร จะมี *Embryos* ที่มีพัฒนาการที่ผิดปกติดีดีเป็น 6% และ 15.7% ตามลำดับ

3. ความเป็นพิษของป্রอทต่อปลา (Toxicity to Fish)

ป์รอนินทรีมีความสามารถถกอ้อให้เกิดพิษต่อปลาได้ในระดับความเค็มขั้นต่ำ ๆ โดยพบว่า ค่า LC₅₀ ของป์รอนินทรีมีค่าอยู่ในช่วง 33-400 ไมโครกรัมต่อลิตร โดยในปลาหน้าจีดจะมีค่า LC₅₀ ต่ำกว่าในปลาทะเล ในขณะที่ป์รอนินทรีจะมีความเป็นพิษที่สูงกว่าป์รอนินทรี โดยความเป็นพิษของป์รอนันจะขึ้นอยู่กับปัจจัยหลายปัจจัย เช่น อุณหภูมิ, ความเค็ม, ปริมาณออกซิเจนที่ลดลงน้ำ และความกระต้างของน้ำ เป็นต้น

3.1 ความเป็นพิษเฉียบพลันของป์รอนต่อปลา (Acute and Short Term Toxicology to Fish)

Rodgers et al. (1951) ทำการศึกษาความเป็นพิษเฉียบพลันของป์รอน (Pyridyl Mercuric Acetate) ต่อปลา Trout 2 ชนิด ได้แก่ Brown Trout และ Rainbow Trout พบร่วมกับ ที่ระดับความเค็มขั้น 10 มิลิกรัมต่อลิตร เป็นเวลา 1 ชั่วโมง พบร่วมกับ Brown Trout ไม่มีการตาย ในขณะที่ Rainbow Trout มีอัตราการตายถึง 99% ที่อุณหภูมิ 13 องศาเซลเซียส และ 33% ที่ 8.5 องศาเซลเซียส และที่ความเค็มขั้น 5 มิลิกรัมต่อลิตร พบร่วมกับ Rainbow Trout มีอัตราการตาย 3% ที่อุณหภูมิ 8.5 องศาเซลเซียส และมีอัตราการตาย 36% ที่อุณหภูมิ 13 องศาเซลเซียส ในขณะที่ระดับความเค็มขั้น 2.5 มิลิกรัมต่อลิตร พบร่วมกับ มีอัตราการตายที่น้อยลง คือ ที่ระดับความเค็มขั้น

2.5 มิลิกรัมต่อลิตร มีอัตราการตาย 0% ที่อุณหภูมิ 8.5 องศาเซลเซียส และมีอัตราการตาย 2% ที่ อุณหภูมิ 13 องศาเซลเซียส

3.2 ความเป็นพิษของprotothet ต่อระยะพัฒนาของสิ่งมีชีวิตในแหล่งน้ำ (Reproductive Effect and Effect on Early Life Stages)

Ram and Sathyanesan (1983) ทำการศึกษาผลของ Mercuric Chloride ที่มีต่อ ระบบสืบพันธุ์ของปลาจ้าว (Channa punctatus) โดยทำการศึกษาที่ระดับความเข้มข้น 0.01 มิลิกรัมต่อลิตร เป็นเวลา 6 เดือน พบว่า Mercuric Chloride จะไปยับยั้งกระบวนการพัฒนาของไข่ในรังไข่ และพัฒนาการของสเปร์ม ในอัตรา 7% โดย Mercuric Chloride จะไปยับยั้งการทำงานของต่อม Gonadotrophs และ Pituitary ซึ่งจะส่งผลต่อการพัฒนาของเซลล์ไข่ และสเปร์ม

Mcintyre (1973) ทำการศึกษาผลของ Methylmercuric Chloride ที่มีผลต่อ ไก่ *Salmo gairdneri* ที่ระดับความเข้มข้น 1 ไมโครกรัมต่อลิตร และ 10 มิลิกรัมต่อลิตร เป็นเวลา 30 นาที พบว่า ไข่จะได้รับการปฏิสนธิกาในเวลา 17 วัน ในขณะที่ไข่ที่ได้รับ Methylmercuric Chloride ที่ ระดับความเข้มข้น 0.5 มิลิกรัมต่อลิตร เป็นเวลา 30 นาที พบว่า ไข่ที่ไม่ได้รับการปฏิสนธิกาเป็น สัดส่วนร้อยละ 12.5 ในขณะที่ชุดควบคุมมีไข่ที่ไม่ได้รับการปฏิสนธิกาเป็นสัดส่วนร้อยละ 9.1 ตามลำดับ

3.3 ความเป็นพิษของprotothet ต่อสรีระและกระบวนการทางชีวเคมีของสิ่งมีชีวิตในแหล่งน้ำ (Physiological and Biochemical Effects)

Panigrahi and Misra (1978) ทำการศึกษาผลของ Mercuric Nitrate ที่มีผลต่อสรีระและกระบวนการทางชีวเคมีของปลา *Anabas scandens* ที่ระดับความเข้มข้น 5 มิลิกรัมต่อลิตร พบร า ว่า ปลาจะตายหมดเมื่อเวลาผ่านไป 24 ชั่วโมง ในขณะที่ระดับความเข้มข้น 3 มิลิกรัมต่อลิตร พบร า ว่า ปลาจะเริ่มนิ่วความผิดปกติทางสรีระ และกระบวนการทางชีวเคมี (เริ่มมีอาการวายน้ำชาลง และมี การกินอาหารที่ลดลง) หลังจากที่ได้รับ Mercuric Nitrate เป็นเวลา 5 วัน และหลังจากที่ได้รับเป็นเวลา 3 สัปดาห์ พบร า ว่า อัตราการหายใจลดลง 29% และหลังจากที่ได้รับเป็นเวลา 4 สัปดาห์ อัตรา การหายใจลดลงถึง 71% นอกจากนั้นยังพบว่า ปริมาณ Haemoglobin ในเลือด, Erythrocyte และ ปริมาณ โปรตีน มีปริมาณที่ลดลง

Lindahl and Hell (1970) ทำการศึกษาผลของ Phenylmercuric hydroxide ที่มีผลต่อ ปลารอย (Roach: *Leuciscus rutilus*) ที่ระดับความเข้มข้น 1 มิลิกรัมต่อลิตร เป็นเวลา 40 นาที พบร า ว่า อัตราการหายใจลดลง 30% เนื่องจาก Secondary Lamellae ถูกทำลาย และพบว่า ปริมาณของ ออกซิเจนในเลือดลดลงถึง 82%

Dawson et al. (1977) ทำการศึกษาผลของ Mercuric Chloride ที่มีต่อ Striped Bass (*Morone saxatilis*) ระยะ Juvenile ที่ระดับความเข้มข้น 1.0, 5.0 และ 10 ไมโครกรัมต่อลิตร ในช่วงระยะเวลา 30-120 วัน ซึ่งจากผลการศึกษาพบว่า ที่ระดับความเข้มข้นต่ำ ๆ อัตราการหายใจไม่มีความแตกต่างจากชุดควบคุม ในขณะที่ระดับความเข้มข้น 5 ไมโครกรัมต่อลิตร เป็นเวลา 30 วัน พนบว่า อัตราการหายใจลดลง ซึ่งแตกต่างจากชุดควบคุม แต่ไม่มีความแตกต่างกันระหว่างวันที่ 30 และวันที่ 60 นอกจากนั้นยังพบว่า ที่ระดับความเข้มข้น 10 ไมโครกรัมต่อลิตร อัตราการหายใจลดลงมากกว่าที่ระดับความเข้มข้น 5 ไมโครกรัมต่อลิตร

Roales and Perlmutter (1977) พบว่า Methylmercury ที่ระดับความเข้มข้น 9 ไมโครกรัมต่อลิตร และ Copper ทึ้งสอง ส่งผลต่อระบบภูมิคุ้มกันของ *Blue Gourami* (*Trichogaster trichopterus*) ที่ก่อให้เกิดโรค IPN: infectionus pancreatic necrosis ที่ตับอ่อน และ *Proteus vulgaris* เป็นเด่น

4. ความเป็นพิษของป्रอท่อสัตว์สืบถูกหัวย้านมีเนแหล่งน้ำ (Toxicity to Aquatic Mammals)

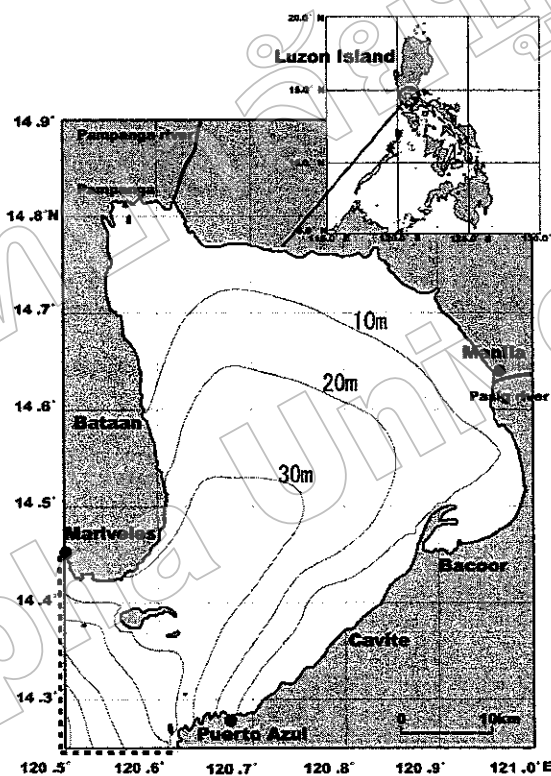
Ronald et al. (1977) ทำการศึกษาความเป็นพิษของ Methylmercury ที่มีต่อแมวน้ำ โดยทำการศึกษาด้วยการผสม Methylmercury ในปลาช่อน โดยแบ่งแมวน้ำออกเป็น 2 กลุ่ม กลุ่มละ 2 ตัว ได้แก่ กลุ่มแรกจะให้ปลาช่อนที่ผสม Methylmercury ที่ระดับความเข้มข้น 0.25 มิลิกรัมต่อกิโลกรัมของน้ำหนักตัว และกลุ่มที่ 2 จะให้ปลาช่อนที่ผสม Methylmercury ที่ระดับความเข้มข้น 25 มิลิกรัมต่อกิโลกรัมของน้ำหนักตัว ซึ่งจากการศึกษาพบว่า ในกลุ่มที่ระดับความเข้มข้น 0.25 มิลิกรัมต่อกิโลกรัมของน้ำหนักตัว ไม่พบรความผิดปกติ ในกลุ่มที่ระดับความเข้มข้น 25 มิลิกรัมต่อกิโลกรัมของน้ำหนักตัว พนบว่า แมวน้ำจะตายภายใน 20 และ 26 ตัวตามลำดับ และเมื่อทำการผ่าพิสูจน์พบว่า มีอาการตับอักเสบ, โลหิตเป็นพิษ เนื่องจากกรองของเสียออกจากปัสสาวะ ไม่ได้และการทำงานของไตล้มเหลว

รายละเอียดของพื้นที่ทำการศึกษา

อ่าวมะนิลา

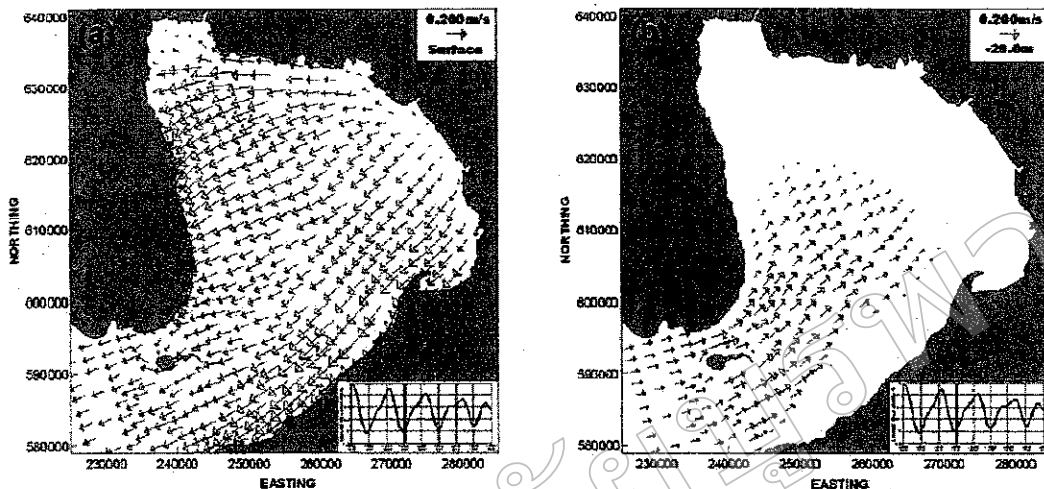
อ่าวมะนิลาอยู่ทางทิศตะวันตกของเกาะ Luzon ประเทศฟิลิปปินส์ อยู่ระหว่างละติจูด 14.23° - 14.87° N และลองติจูด 120.53° - 121.03° E โดยมีเมือง Cavite อยู่ทางทิศตะวันตกของอ่าว และเมือง Manilla เมือง Rizal อยู่ทางทิศตะวันออกของอ่าว มีเมือง Bulacan และ Pampanga อยู่ทางทิศเหนือของอ่าว และเมือง Bataan อยู่ทางทิศตะวันตก และ

ตะวันตกเฉียงใต้ของอ่าว โดยอ่าวมานิลา มีเนื้อที่ประมาณ 1,700 ตารางกิโลเมตร มีความยาวโดยประมาณ 60 กิโลเมตร มีความกว้างบริเวณที่เขื่อนต่อ กับทะเลจีนใต้ประมาณ 22 กิโลเมตร และความกว้างบริเวณด้านที่ติดกับชายฝั่ง 60 กิโลเมตร มีความลึกเฉลี่ย 17 เมตร ปริมาตรรวม $30 \times 10^9 \text{ m}^3$ โดยอ่าวมานิลาจะได้รับน้ำจืดจากแม่น้ำหลัก 2 สายคือแม่น้ำ Pasig และแม่น้ำ Pampanga โดยปริมาณน้ำจืดที่ได้รับจากแม่น้ำทั้งสองสายนี้มีปริมาณรวมกันแล้วกว่า 75% ของน้ำจืดที่ได้รับทั้งหมด โดยน้ำจืดที่ได้รับจากแม่น้ำ Pasig ประมาณ 21% และแม่น้ำ Pampanga ประมาณ 49% แม่น้ำอื่น ๆ อีกประมาณ 26% และจากฝนอีกประมาณ 4% (ดังแสดงในภาพที่ 8)



ภาพที่ 8 ลักษณะของอ่าวมานิลา ประเทศไทยฟิลิปปินส์ (South China Sea, 2005)

จากการศึกษาของ Hughes et al. (2004) ที่ทำการศึกษารูปแบบการไหลเวียนของกระแสน้ำในอ่าวมานิลา พบว่า ในช่วงฤดูฝนตัววันออกเฉียงเหนือ ในช่วงเดือน ตุลาคม ถึง มกราคม กระแสน้ำบริเวณผิวน้ำจะมีการ ไหลจากทิศตะวันออกเฉียงเหนือไปทิศตะวันตกเฉียงใต้ ของอ่าว ในขณะที่มวลน้ำด้านล่างจะ ไหลเข้ามาแทนที่ โดยมีทิศทางการ ไหลจากทิศตะวันตกเฉียงใต้ ไปทิศตะวันออกเฉียงเหนือ แต่พบร่วมกัน มวลน้ำด้านล่างจะ ไหลไปแทนที่ถึงแค่บริเวณกลางอ่าวเท่านั้น ดังแสดงในภาพที่ 9



ภาพที่ 9 การไฟลеЧិនของกระแสน้ำในอ่าวมะนิค้าในช่วงฤดูมรสุมตะวันออกเฉียงเหนือ

(a) การ ไฟล์ของกระแทกน้ำมันริเวโนพิวนห้า (b) การ ไฟล์วีนของมวลน้ำด้านล่าง

มูลสารที่ถูกปล่อยลงสู่อ่าวมานิลา มีลักษณะเป็นของเสียที่มาจากการชุมชนเมือง และจากภาคอุตสาหกรรม โดยอ่าวมานิลาเป็นที่ร่องรับของเสีย อันเกิดจากการกระทำการของประชาชนของประเทศไทยปีปัจจุบัน จำนวน 16 ล้านคน (ปี ก.ศ. 1991) ซึ่งคิดเป็น 27% ของประชากรทั้งประเทศ โดยพบว่า ในจำนวน 16 ล้านคนนี้มีปริมาณถึง 8 ล้านคนที่ปล่อยของเสียออกมากันแม่น้ำ Pasig โดยมีปริมาณของเสียในกลุ่มสารอินทรีย์ ที่ถูกปล่อยออกมากันแม่น้ำ Pasig คิดเป็นปริมาณถึง 70% ซึ่งส่วนใหญ่ถูกปล่อยมาจากเมืองหลวง (Manila) นอกจากนี้ยังพบว่า มูลสารที่ถูกปล่อยลงสู่อ่าวมานิลานี้ นอกจากจะมีของเสียที่ถูกปล่อยมาจากชุมชนแล้ว ยังพบว่า ยังมีของเสียที่ถูกปล่อยออกมายกจากเกษตรกรรม และภาคอุตสาหกรรมอีกด้วย (Jacinto, Diego-McGlone, Velasquez & Smith, 2005)

โดยพบว่า ของเสียที่ถูกพัดพามากับแม่น้ำ Pasig นั้นเป็นของเสียจากภาคอุตสาหกรรม ซึ่งมีอยู่ประมาณ 315 โรงงานที่ดังกล่าวริมฝั่งแม่น้ำ โดยมีปริมาณของเสียที่ถูกปล่อยถึง 45% และมา จากแหล่งชุมชนอีก 45% และที่เหลืออีก 10% เป็น Solid Waste ที่มาจากการชุมชน (Pollution Manila Bay, 2005)

จากการศึกษาพบว่า ปริมาณของเสียจากชุมชนที่ถูกปล่อยลงสู่อ่าวมangenila มีปริมาณถึง 290 (ตัน BOD) และ 350 (ตัน Solid Wastes) และมีปริมาณของเสียที่ถูกปล่อยมาจากการอุตสาหกรรมที่ถูกปล่อยลงสู่อ่าวมangenila มีปริมาณถึง 26 (ตัน BOD) และ 114 (ตัน Solid Wastes) โดยเฉพาะอย่างยิ่ง ของเสียที่ถูกปล่อยมาจากโรงงานผลิตกระดาษ ซึ่งพบว่าบาริเวณอ่าวมangenila มีโรงงานผลิตกระดาษถึง 24 โรงงานซึ่งโรงงานเหล่านี้ได้ปล่อยของเสียลงสู่อ่าวมangenila ซึ่งส่งผล

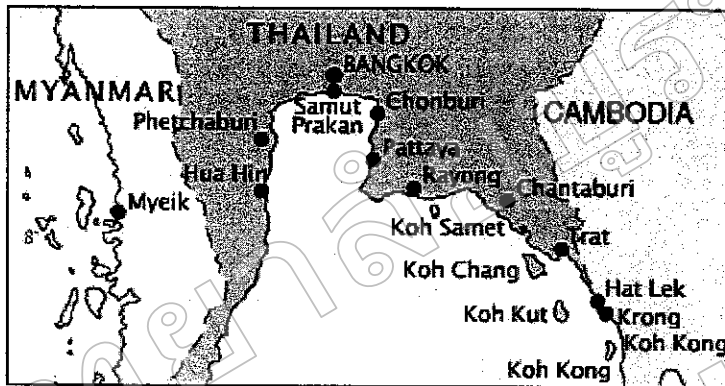
ทำให้เกิดความเสียหายต่อคุณภาพน้ำชายฝั่งเป็นอย่างยิ่ง นอกจานนี้ยังพบว่า บริเวณอ่าวมานิลาที่ทำการเกย์ตรได้มีการใช้ปูย ยาฆ่าแมลง ในภาคเกย์ตรกรรมกันอย่างกว้างขวาง ซึ่งทำให้เกิดการตกค้าง และก็จะถูกน้ำฝนชะลงสู่แม่น้ำ และอ่าวมานิลาในที่สุด ซึ่งส่งผลกระทบต่อสิ่งแวดล้อม บริเวณชายฝั่งในที่สุด ซึ่งจากการสำรวจปืนปืนของยาฆ่าแมลงบริเวณชายฝั่ง และปากแม่น้ำจำนวนทั้งหมด 24 สถานี พบว่า มีค่าระดับการปืนปืนน้อยกว่า 0.5 ppb ในน้ำทะเล นอกจานนี้ จากการศึกษาของ Nationwide พบว่า ปริมาณการปืนปืนของป्रอท และโลหะหนักในน้ำทะเล และในสิ่งมีชีวิต ที่ได้จาก Manila Bay และ Palawan Island (Puerto Princesa) พบว่า มีค่าระดับการปืนปืนของป्रอทในน้ำทะเลน้อยกว่า 1 ppb และน้อยกว่า 0.1 ppm ในสิ่งมีชีวิต นอกจานนี้พบว่า ยังมีปัญหามลพิษที่สำคัญอีกหนึ่งปัญหาที่เกิดขึ้นในบริเวณอ่าวมานิลา คือ การปืนปืนของ cabin น้ำมันบริเวณชายฝั่งของอ่าวมานิลา ได้แก่ บริเวณทางทิศตะวันตกของ Borneo, Enter the Sulu Sea, บริเวณชายฝั่งของเมือง Palawan, Mindoro และ Luzon เป็นต้น (Alonzo-Pasicolan, Foundation & Howes, 2005) นอกจานนี้บริเวณรอบอ่าวมานิลาเองมีโรงงานผลิตส่วนประกอบ ของรถยนต์ และโรงงานผลิตชิ้นส่วนอิเล็กทรอนิกส์ ต่าง ๆ ซึ่งเป็นสาเหตุทำให้เกิดการปืนปืนของโลหะหนักต่าง ๆ ในอ่าวมานิลา (Manila Bay Wastes, 2005)

อ่าวไทย

อ่าวไทยตั้งอยู่ในประเทศไทย โดยตั้งอยู่ทางทิศตะวันตกของทะเลจีนใต้ อยู่ระหว่าง ละติจูด 1 องศา 30 ลิบเดกเนื้อ กับ 13 องศา 30 ลิบเดกเนื้อ และลองติจูด 99 องศา 00 ลิบดา ตะวันออก ถึง 105 องศา 00 ลิบเดกตะวันออก มีระยะความกว้างของปากอ่าวตั้งแต่ปลายแหลม นาลายูไปจนถึงปลายแหลมอินโดจีน ประมาณ 750 กิโลเมตร ครอบคลุมพื้นที่ประมาณ 320,000 ตารางกิโลเมตร ความลึกเฉลี่ย 45 เมตร ความลึกมากที่สุดอยู่ระหว่าง 70 - 85 เมตร ซึ่งอยู่บริเวณตอนกลางของอ่าว ลักษณะการกระจายของความลึกจะเพิ่มขึ้นตามระยะห่างจากฝั่ง โดยจะมี สันคอบนที่อยู่ระดับความลึก 55 เมตร เป็นตัวกันระหว่างอ่าวไทยกับทะเลจีนใต้ (สมชาย ศรีปัญญา viz., 2531) และมีบริเวณทางเปิดปากอ่าวที่ผิวน้ำกว้างประมาณ 320 กิโลเมตร แต่ ปากอ่าวที่มีระดับความลึก 50 เมตร จะกว้างเพียง 50 กิโลเมตรเท่านั้น โดยทั่วไปจะทำการแบ่ง อ่าวไทยออกเป็น 2 ส่วน (ดังแสดงในภาพที่ 10) คือ

1. อ่าวไทยตอนบน หรืออ่าวไทยตอนใน เริ่มจากเส้นละติจูด 12 องศา 30 ลิบเดกเนื้อ ขึ้นมาถึงบริเวณปากแม่น้ำเจ้าพระยา รูปร่างอ่าวเป็นสี่เหลี่ยมคล้ายรูปตัว ก. บริเวณนี้มีความลึกเฉลี่ย เพียง 15 เมตร พื้นที่ประมาณ 10,000 ตารางกิโลเมตร (100×100 ตารางกิโลเมตร) ปริมาตร ความจุน้ำประมาณ 131 ลบ.กม. (จากระดับน้ำทะเลเป็นกลาง) ทะเลด้านทิศเหนือค่อนข้างตื้น และ ค่อย ๆ ลดลงเรื่อยๆ ระดับความลึก 25 เมตร บริเวณปากอ่าวระหว่างสัตหีบ และหัวหิน (อัปสรสุชา ศิริพงศ์, 2528)

2. อ่าวไทยตอนล่าง หรืออ่าวไทยตอนนอก เริ่มจากเส้นละดิจิต 12 องศา 30 ลิปดาเนื่อง
ลงมาถึงแนวระหว่างแหลมคามา และปากแม่น้ำโขตามารู มีความลึกเฉลี่ยประมาณ 45 เมตร
บริเวณไหหลวปัตตจากอ่าวไทย และชายฝั่งทะเลเวียดนามได้พื้นท้องทะเลไม่เรียบ มีสันเนิน และ^ก
หุบเหวตื้น ๆ อยู่มากความลึกจะค่อย ๆ เพิ่มขึ้นจนถึงสุดไหหลวป นอกอ่าวไทยมีความลึกประมาณ
130 เมตร (อัปสรสุดา ศิริพงศ์, 2528)



ภาพที่ 10 ลักษณะของอ่าวไทย ประเทศไทย (Thailand, 2005)

ອ່າວ້າໄທຕອນບນໄດ້ຮັບອີເທີພລຈາກຄົມຮຽນສຸມຕະວັນອອກເນື້ອງແຫຼ້ນ ແລະຕະວັນຕກເລື່ອງໄດ້ໄກຢູ່ໃນຊ່ວງມຮຽນສຸມຕະວັນອອກເນື້ອງແຫຼ້ນ ມວລນໍາໃນອ່າວ້າໄທຕອນບນຈະມີລັກຂໍມະການໄຫລວເວິນແບບ
ຕາມເງິນນາພິກາ ໃນຂະໜາທີ່ຊ່ວງມຮຽນສຸມຕະວັນຕກເລື່ອງໄດ້ ມວລນໍາໃນອ່າວ້າໄທຕອນບນຈະມີລັກຂໍມະການ
ການໄຫລວເວິນແບບທວນເງິນນາພິກາ

ประทุมกปดอyleสูอ่าไหได้ 2 ทาง คือ การปนเปื้อนในอากาศก่อนจะตกลงสูอ่าไห และการปนเปื้อนที่มากับแม่น้ำ โดยอ่าไหได้รับน้ำจีดจากแม่น้ำเจ้าพระยาเป็นหลัก ซึ่งแม่น้ำเจ้าพระยาเป็นแม่น้ำที่รองรับของเสียไม่ว่าจะเป็นของเสียจากโรงงานอุตสาหกรรมต่าง ๆ หรือจากชุมชน ซึ่งจากการสำรวจของสำนักงานสถิติแห่งชาติพบว่า ประชากรในเขตกรุงเทพในปี พ.ศ. 2548 มีประชากรประมาณ 5,658,953 คน และมีประชากรในคุณน้ำเจ้าพระยาประมาณ 10,136,400 คน ซึ่งนอกจากอ่าไหจะได้รับน้ำจีดจากแม่น้ำเจ้าพระยาแล้วยังได้รับน้ำจีดจากแม่น้ำอีก 3 แม่น้ำด้วยกัน ได้แก่ แม่น้ำแม่กลอง, แม่น้ำบางปะกง และแม่น้ำท่าจีน ซึ่งบริเวณแม่น้ำทั้ง 4 สายนี้เป็นที่ตั้งของโรงงานอุตสาหกรรมอย่างหนาแน่น ซึ่งเป็นแหล่งที่มาของprotoที่ปนเปื้อนในอ่าไหไม่ว่าจะเป็น โรงแยกก๊าซธรรมชาติ โรงงานน้ำมัน โรงงานปีโตรเคมี โรงงานผลิตสี เป็นต้น นอกจากนั้นprotoอาจมีการปนเปื้อนจากภาคการเกษตรกรรม ได้ด้วย ซึ่งในอ่าไหอย่างก็มีแหล่งที่มาของprotoที่ทำให้เกิดการปนเปื้อนของด้วยน้ำคือ แท่งบุคเจาะน้ำมัน และก๊าซธรรมชาติ เนื่องจากprotoจะถูกปล่อยมากับน้ำที่ได้จากการผลิต (Produce Water) (กรมควบคุมมลพิษ, 2548)

โดยพบว่า การขุดเจาะน้ำมัน และกําชธรรมชาติในอ่าวไทย ได้เริ่มนีการดำเนินกิจการ ตั้งแต่ปี ก.ศ. 1982 และเริ่มพนกการปนเปื้อนของprotoที่มาจากการขุดเจาะกําชธรรมชาติ ในปี ก.ศ. 1985 ที่บริเวณแท่นบุดเจาะ Platong ในอ่าวไทย โดยพบว่า การปนเปื้อนของprotoนี้ มีสาเหตุมาจากน้ำทึ้งที่ได้จากการระบวนการขุดเจาะกําชธרรมชาติ และหลังจากนั้นอีก 3 ปี คือในปี ก.ศ. 1988 ที่ได้พบว่า มีการปนเปื้อนของprotoที่มาจากการขุดเจาะน้ำมัน ในบริเวณแท่นบุดเจาะ Erawan จากการสำรวจของบริษัท Unocal ในปี 1995 พบว่า protoที่ถูกปล่อยออกมานา จากระบวนการผลิตน้ำมัน และกําชธรรมชาติในช่วงปี ก.ศ. 1991-1996 จากแท่งบุดเจาะทั้ง 4 (Erawan, Platong, Satun และ Funan) มีปริมาณประมาณ 40-330 กิโลกรัมต่อปี โดยมีค่าเฉลี่ยอยู่ที่ 187 กิโลกรัมต่อปี (Tetra Tech, 1997) ซึ่งในแต่ละปีprotoที่ถูกปล่อยออกมานามากที่สุด คือ แท่งบุดเจาะที่ 4 ที่มีปริมาณ proto มากที่สุด คือ 55,830 Barrels และ 1,950 Million Cubic Feet ตามลำดับ ส่วนผล ทำให้เกิดน้ำทึ้งจากการระบวนการผลิตน้ำมัน และกําชธรรมชาติ ในปี ก.ศ. 2000 โดยเฉลี่ยต่อวันอยู่ที่ 56,340 Barrels

Tetra Tech Inc (2000) ทำการศึกษาการปนเปื้อนของprotoในดินตะกอนรอบๆ แท่นบุดเจาะน้ำมัน และกําชธรรมชาติในอ่าวไทย พบว่า ระดับการปนเปื้อนของprotoในดินตะกอนที่ได้มาจาก Nort Pailin Production Platform และ Welhead Platform มีค่าการปนเปื้อนอยู่ในช่วง 0.015-0.027 มิลิกรัมต่อ กิโลกรัม ในขณะที่ระดับการปนเปื้อนของprotoในดินตะกอนที่ได้มาจาก Fuann Production Platform มีค่าการปนเปื้อนอยู่ในช่วง 0.02-5.01 มิลิกรัมต่อ กิโลกรัม

ตารางที่ 6 ปริมาณprotoที่พบจากการขุดเจาะน้ำมัน และกําชธรรมชาติ (Unocal Thailand Water Treatment System, 1998)

Sources	Range of Mercury
Natural Gas	10-25 $\mu\text{g}/\text{m}^3$
Condensate	500-800 $\mu\text{g}/\text{l}$
Produced Water	30-800 $\mu\text{g}/\text{l}$

นอกจากนี้ protoที่มีการนำมาใช้ในกระบวนการผลิตเครื่องสำอาง, กระบวนการผลิตแบตเตอรี่ และอุปกรณ์การแพทย์ อีกด้วย เช่น Amalgam ที่ใช้ในด้านทันตกรรม เป็นต้น นอกจากนี้ยังพบว่า protoที่ถูกใช้ใน โรงพยาบาล, อุตสาหกรรมผลิตสี, อุตสาหกรรมผลิตหลอดฟูล์โตรีเซนต์ และโรงงานผลิตกระเบ้าไฟฟ้า เป็นต้น (กรมควบคุมมลพิษ, 2548)

โดยในปี ก.ศ. 2001 กรมควบคุมมลพิษได้ทำการติดตามการปนเปื้อนของprototh ในน้ำทะเลบริเวณอ่าวไทยตอนบน, อ่าวไทยทางทิศตะวันตก และบริเวณ ESB: Eastern Seaboard และทะเลอันดามัน โดยพบว่า มีค่าการปนเปื้อนของprototh ในน้ำทะเลอยู่ในช่วง 0.02-0.09 ไมโครกรัม ต่อลิตร โดยพบว่า มีค่าเฉลี่ยของปริมาณprototh ที่ปนเปื้อนในน้ำทะเลอยู่ที่ 0.039, 0.05, 0.06 และ 0.04 ไมโครกรัมต่อลิตร ในบริเวณอ่าวไทยตอนบน, อ่าวไทยทางทิศตะวันตก, ESB: Eastern Seaboard และทะเลอันดามัน ตามลำดับ และในปี ก.ศ. 2002 พบว่า ค่าการปนเปื้อนของprototh ในน้ำทะเลเมื่อค่าอยู่ในช่วง 0.02-0.08 ไมโครกรัมต่อลิตร โดยมีค่าเฉลี่ยอยู่ที่ 0.02 ไมโครกรัมต่อลิตร และในปี ก.ศ. 2003 พบว่า ค่าการปนเปื้อนของprototh ในน้ำทะเลเมื่อค่าอยู่ในช่วง 1.1-87.6 นาโนกรัม ต่อลิตร โดยมีค่าเฉลี่ยอยู่ที่ 9.22 นาโนกรัมต่อลิตร ในขณะที่ปริมาณการปนเปื้อนของprototh ในน้ำจากแม่น้ำ 16 สาย ได้แก่ Bang Pa Kong, Chao Phra Ya, Tha Chin, Mae Klong, Rayong, Phang Rat, Trad, Phetchaburi, Pran Buri, Lang Suan, Tapee, Pak Phanang, Tepa, Pattani และ Sai Buri โดยช่วงระยะเวลาของการศึกษาตั้งแต่ปี ก.ศ. 1996-2000 พบว่า มีค่าการปนเปื้อนของprototh ในน้ำอยู่ในช่วง <0.05 – 1.5 ไมโครกรัมต่อลิตร ซึ่งถือว่ายังมีค่าการปนเปื้อนที่ต่ำกว่ามาตรฐานprototh ในน้ำทะเลชายฝั่ง (2 ไมโครกรัมต่อลิตร) Siriratanachai (2001) ทำการศึกษาปริมาณการปนเปื้อนของprototh ในน้ำจากแม่น้ำเจ้าพระยาพบว่า มีค่าการปนเปื้อนอยู่ในช่วง 0.024-0.133 ไมโครกรัมต่อลิตร (กรมควบคุมมลพิษ, 2548)

นอกจากนั้นกรมควบคุมมลพิษได้ทำการศึกษาถึงระดับการปนเปื้อนของprototh ในน้ำที่อยู่บริเวณเขตอุตสาหกรรม (นิคมอุตสาหกรรมมาตราพุด และนิคมอุตสาหกรรมแหลมฉบัง) ในปี ก.ศ. 2001-2003 โดยพบว่า ระดับการปนเปื้อนของprototh ที่ได้มีค่าระดับการปนเปื้อนต่ำกว่าระดับมาตรฐานในน้ำทะเลชายฝั่ง (1 ไมโครกรัมต่อลิตร: The National Coastal Water Quality Standard for Mercury) โดยพบว่า มีค่าเฉลี่ยการปนเปื้อนของprototh อยู่ในช่วง 0.04, <0.02 และ 0.007 ไมโครกรัมต่อลิตร ตามลำดับ (กรมควบคุมมลพิษ, 2548)

ส่วนการศึกษาการปนเปื้อนของprototh ในดินตะกอน จากอ่าวไทยตอนบน อ่าวไทยทางทิศตะวันตก ESB: Eastern Seaboard และทะเลอันดามัน โดยกรมควบคุมมลพิษ พบว่า ในปี 1998 มีระดับการปนเปื้อนของprototh อยู่ในช่วง 0.005-2.135 มิลิกรัมต่อกิโลกรัมน้ำหนักแห้ง โดยมีค่าเฉลี่ยการปนเปื้อนของprototh ในดินตะกอนอยู่ที่ 0.138 มิลิกรัมต่อกิโลกรัมน้ำหนักแห้ง ในปี 1999 มีระดับการปนเปื้อนของprototh อยู่ในช่วง 0.003-0.872 มิลิกรัมต่อกิโลกรัมน้ำหนักแห้ง โดยมีค่าเฉลี่ยการปนเปื้อนของprototh ในดินตะกอนอยู่ที่ 0.067 มิลิกรัมต่อกิโลกรัมน้ำหนักแห้ง นอกจากนี้ยังพบว่า ในปี ก.ศ. 1999 ได้ทำการศึกษาระดับการปนเปื้อนของprototh ในดินตะกอนที่ได้จากการ

แม่น้ำเจ้าพระยา ระหว่างในช่วงฤดูร้อน และฤดูฝนพบว่า ระดับการปนเปื้อนของprotoin din ต่อก่อน จากแม่น้ำเจ้าพระยา ในช่วงฤดูฝนมีค่ามากกว่าฤดูร้อน โดยในฤดูฝนมีค่าการปนเปื้อนอยู่ ในช่วง 0.304-0.448 ในโครงการต่อกรัมน้ำหนักแห้ง และฤดูร้อนมีค่าการปนเปื้อนอยู่ในช่วง 0.05-0.397 ในโครงการต่อกรัมน้ำหนักแห้ง และในปี ค.ศ. 2002 สถาบันวิทยาศาสตร์ทางทะเล มหาวิทยาลัยนรภพ ได้ทำการศึกษาการปนเปื้อนของprotoin din ต่อก่อน จากบริเวณ ESB: Eastern Seaboard พบว่า มีค่าการปนเปื้อนอยู่ในช่วง 0.21-4.96 ในโครงการต่อกรัมน้ำหนักแห้ง และในปี ค.ศ. 2002 กรมควบคุมมลพิษ ได้ทำการศึกษาพบว่า ระดับการปนเปื้อนของprotoin din ต่อก่อนที่ได้จากบริเวณ สมุทรปราการ และนิคมอุตสาหกรรมนานาชาติ มีค่าการปนเปื้อนอยู่ที่ 0.0054-0.188 และ 0.001-0.293 ในโครงการต่อกรัมน้ำหนักแห้ง (กรมควบคุมมลพิษ, 2548)